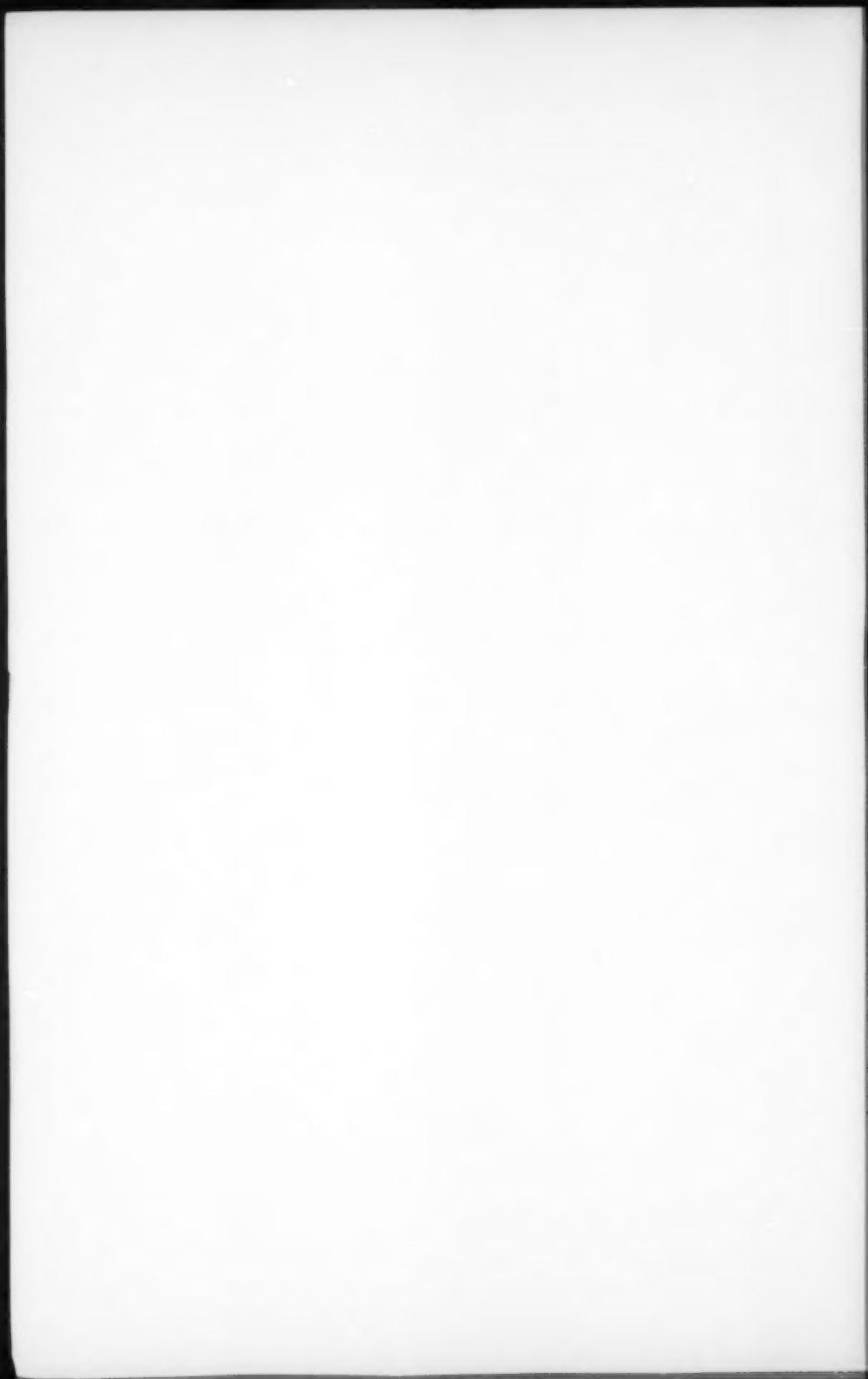


COMPTES RENDUS  
DES SÉANCES  
DE LA  
SOCIÉTÉ DE BIOLOGIE  
ET DE SES FILIALES



COMPTES RENDUS  
DES SÉANCES

DE LA

SOCIÉTÉ DE BIOLOGIE  
ET DE SES FILIALES

---

(129<sup>e</sup> Année)

---

ANNÉE 1977 — TOME 171

---

MASSON ET C<sup>ie</sup>, ÉDITEURS  
LIBRAIRES DE L'ACADÉMIE DE MÉDECINE  
120, BOULEVARD SAINT-GERMAIN, PARIS (VI<sup>e</sup>)

UNIVERSITY OF CHICAGO

LIBRARY

1962

30 3731202

1962

# LISTE

## DES

### MEMBRES DE LA SOCIÉTÉ DE BIOLOGIE

AU 31 DECEMBRE 1977.

---

#### ABRÉVIATIONS

A A M, associé de l'Académie de médecine.  
 A A S, associé de l'Académie des sciences.  
 A F M, maître de conférences agrégé à la Faculté de médecine.  
 A F P, maître de conférences agrégé à la Faculté de pharmacie.  
 A H, accoucheur des hôpitaux.  
 A Sc N, agrégé sciences naturelles.  
 C H, chirurgien des hôpitaux.  
 C L ; C S ; C T, chef de laboratoire — de service — de travaux.  
 C A M, correspondant de l'Académie de médecine.  
 C A S, correspondant de l'Académie des sciences.  
 C C, chargé de cours.  
 C R, chargé de recherches au C.N.R.S.  
 C L F M, chef de laboratoire de la Faculté de médecine.  
 C L I P, chef de laboratoire à l'Institut Pasteur.  
 C S I P, chef de service à l'Institut Pasteur.  
 D, directeur. — S D, sous-directeur. — D A, directeur-adjoint.  
 D H, directeur honoraire.  
 D L, directeur de laboratoire.  
 D L H E, directeur de laboratoire à l'Ecole pratique des Hautes-Etudes.  
 D R et M R, directeur et maître de recherches au C.N.R.S.  
 F R S, membre de la Société royale de Londres.  
 M A, maître assistant.  
 M A A, membre de l'Académie d'agriculture.  
 M A C, membre de l'Académie de chirurgie.  
 M A F, membre de l'Académie française.  
 M A M, membre de l'Académie de médecine.  
 M A P, membre de l'Académie de pharmacie.  
 M A S, membre de l'Académie des sciences.  
 M A V, membre de l'Académie vétérinaire.  
 M C, maître de conférences.  
 M C F S, maître de conférences à la Faculté des sciences.  
 M C H E, maître de conférences à l'Ecole des Hautes-Etudes.  
 M H, médecin des hôpitaux.  
 M H H, médecin honoraire des hôpitaux.  
 P C A M, professeur au Conservatoire national des Arts et Métiers.  
 P C F, professeur au Collège de France.  
 P E M, professeur à l'Ecole de médecine.  
 P E V, professeur à l'Ecole vétérinaire.  
 P F M, professeur à la Faculté de médecine.  
 P F P, professeur à la Faculté de pharmacie.  
 P F S, professeur à la Faculté des sciences.  
 Ph H, pharmacien des hôpitaux.  
 P H, professeur honoraire.  
 P I A, professeur à l'Institut agronomique.  
 P I P, professeur à l'Institut Pasteur.  
 P M, professeur au Muséum national d'histoire naturelle.  
 P U, professeur à l'Université.

## ANCIENS PRÉSIDENTS

### Présidents perpétuels.

MM.

† RAYER (1848-1867). † Claude BERNARD (1868-1878). † Paul BERT (1879-1886).

### Présidents quinquennaux.

MM.

† BROWN-SÉQUART (1887-1892). † CHAUVEAU (1892-1896). † BOUCHARD (1897-1901). † MAREY (1902-1904). † GIARD (1905-1908). † MALASSEZ (1909). † DASTRE (1910-1917). † Ch. RICHTER (1918-1923). † HENNEGUY (1924-1928). † d'ARSONVAL (1928-1932). † Ch. ACHARD (1933-1937). † L. LAPICQUE (1937-1942). † P. PORTIER (1942-1945). † M. CAULLERY (1945-1950). † R. LERICHE (1951-1955). † A. LACASSAGNE (1956-1960). † L. BINET (1961-1965). R. COURRIER (1966-1970). † J. TRÉFOUEL (1971-1976).

## ANCIENS SECRÉTAIRES GÉNÉRAUX.

† DUMONT-PALLIER (1868-1899). † E. GLEY (1899-1909).  
† A. PETTIT (1909-1926). † J. JOLLY (1926-1953).

## COMPOSITION DU BUREAU (1977).

<b>Président</b> .....	M. G. GAUTHERET.
<b>Vice-Présidents</b> .....	{ M. M. BESSIS. M. E. CORABŒUF.
<b>Secrétaire général</b> .....	
<b>Adjoint au secrétaire général</b> ..	M. J. ROCHE.
	M. J. SAVEL.
<b>Secrétaires</b> .....	{ M <sup>me</sup> M. ADOLPHE. M. V. BLOCH. M. C. CHARARAS. M. M. STUFFEL.
<b>Trésorier</b> .....	
<b>Archiviste</b> .....	
	M. D. BARGETON.
	M. J. VERNE.

## MEMBRES D'HONNEUR.

MM.

ADRIAN (E. D.), AAM, FRS, PU, Prix Nobel, Cambridge (Angleterre).  
BRACHET (J.), CAS, PU, à Bruxelles.  
BREMER (F.), AAM, CAS, PFM, boulevard de Waterloo, Bruxelles.  
CLAUDE (A.), AAS, CAM, Prix Nobel, 62, rue des Champs-Élysées, 1050 Bruxelles.  
COURRIER (R.), MAS, MAM, FRS, PHCF, DLHE, Secrétaire perpétuel de l'Académie des Sciences, 11, place Marcelin-Berthelot, Paris (V<sup>e</sup>) et 3, rue Mazarine (VI<sup>e</sup>).

MM.

DEBRÉ (R.), MAS, MAM, PHFM, MH, 5, rue de l'Université, Paris (VII<sup>e</sup>).  
HEIDELBERGER (M.), PU, Prix Nobel, Columbia University, New-York.  
HILL (A.-V.), FRS, AAM, PU, Prix Nobel, University College, Londres.  
KREBS (H. A.), PHU, Prix Nobel, FRS, AAS, AAM, Department of Biochemistry, University of Oxford.

MM.

- LELOIR (L. F.), Prix Nobel, Instituto de Investigaciones Bioquímicas, Obligado 2490, Buenos Aires, Argentine.  
 LWOFF (A.), PFS, CSIP, Prix Nobel, 25, rue du Docteur Roux, Paris (XV\*).  
 NORTHROP (J. H.), Prix Nobel, Inst. Rockefeller, New-York.

MM.

- PAULING (L. C.), AAS, CAM, P, Cal. I. of Technology, Pasadena.  
 WOLFF (Et.), MAF, MAS, MAM, PHCF, Collège de France, 75231 Paris Cedex 05.  
 WURMSER (R.), MAS, DLHE, PFS, Institut de Biologie physico-chimique, 13, rue Pierre et Marie Curie, 75005 Paris.

MEMBRES TITULAIRES HONORAIRES.

MM.

- ABELANET (R.), AFM, Laboratoire d'Anatomie et Cytologie pathologique, 21, rue de l'Ecole de Médecine, 75270 Paris Cedex 06 et 5, rue Nicolas Chuquet, 75017 Paris.  
 ALBE-FESSARD (M<sup>me</sup> D.), DR, MCFS, 4, avenue Gordon-Bennett, Paris (XVI\*).  
 ANDRÉ (M<sup>me</sup> S.), MAHE, Institut d'Immunologie, Hôpital Broussais, 96, rue Didot, 75674 Paris Cedex 14.  
 ARVY (M<sup>me</sup> L.), MR, Laboratoire d'Histoencytologie, Faculté de Médecine, 45, rue des Saints-Pères, 75 - Paris (VI\*).  
 ASCHKENASY (A.), DR, Laboratoire d'Hématologie nutritionnelle, Orléans - La Source.  
 BARBIER (P.), CTFM, 59, boulevard Berthier, Paris (XVII\*).  
 BARGETON (D.), MAS, PFM, 124, quai Louis Blériot, 75016 Paris.  
 BEAUVALLLET (M<sup>me</sup> M.), 19, rue Vergniaud, Paris (XIII\*).  
 BENOIT (J.), MAS, MAM, PCF, 81, avenue Niel, Paris (XVII\*).  
 BENOIT (P.), PFS, Laboratoire de Physiologie générale, Faculté des Sciences, 91 Orsay.  
 BERGERARD (J.), PFS, 91405 Orsay Cedex.  
 BERTHAUX (P.), MH, 8, rue du Vieux Colombier, 75006 Paris.  
 BESSIS (M.), PFM, DLHE, Institut de Pathologie cellulaire, Hôpital de Bicêtre, 94-Le Kremlin-Bicêtre.  
 BOQUET (P.), CSIP, 92 Garches.  
 BOURGUIGNON (A.), MH, 18, rue Saint-Romain, 75 - Paris (VI\*).  
 BOURLIÈRE (F.), PFM, 45, rue des Saints-Pères, Paris (VI\*) et 8, rue Huysmans, Paris (VI\*).

MM.

- BRETEY (J.), CSIP, 28, rue du Docteur Roux, Paris (XV\*).  
 BROCARD (H.), MH, 14, rue Brémontier, Paris (XVII\*).  
 BRUMPT (L.), MAM, PFM, 8 avenue d'Eylau, Paris (XVI\*).  
 BUSER (P.), PFS, Laboratoire de Neurophysiologie comparée, 9, quai Saint-Bernard, Paris (V\*).  
 BUSNEL (R. G.), PFS, DLHE, chemin de la Butte du Diable, 91-Vauboyen-sur-Bièvres.  
 BUTTNER (M<sup>me</sup> A.), CTFM, Laboratoire de Parasitologie, 15, rue de l'Ecole de Médecine, Paris (VI\*).  
 CANIVET (J.), PFM, MH, 9, rue Léon Vaudoyer, 75007 Paris.  
 CARTIER (P.), Enzymologie médicale, Hôpital Necker — Enfants Malades, 156, rue de Vaugirard, 75730 Paris Cedex 15.  
 CHABAUD (A.), Laboratoire de Zoologie (Vers), Muséum National d'Histoire Naturelle, 57, rue Cuvier, 75005 Paris.  
 CHAUCHARD (P.), DLHE, Laboratoire de Neurophysiologie de la Sorbonne, 1, rue Victor-Cousin, Paris (V\*) et 57, avenue de la Division-Leclerc, 92 Châtillon-sous-Bagneux.  
 CHEVILLARD (L.), DLHE, 44, rue Mora, 95880 Enghien les Bains.  
 CHEYMOL (J.), MAM, MAP, PHFM, Ph H, 14, boulevard Saint-Germain, 75 - Paris (V\*).  
 COHEN (Y.), MAP, PFP, Laboratoire de Pharmacodynamie, 4, avenue de l'Observatoire, 75270 Paris Cedex 06.  
 CORABOEUF (E.), PFS, Laboratoire de Physiologie animale, Faculté des Sciences, 91 Orsay.  
 CORRE-HURST (M<sup>me</sup> L.), 9 rue des Archives, 75004 Paris.

MM.

- COUJARD (R.), MCFM, Laboratoire d'Histologie et 8, rue du Puits de l'Hermite, Paris (V\*).
- COURTOIS (J. E.), MAM, MAP, PhH, PFP, Laboratoire de Chimie biologique, 4, avenue de l'Observatoire, 75 - Paris (VI\*).
- COUSIN (M<sup>me</sup> G.), PFS, 12, rue Cuvier, Paris (V\*) et 3, rue de l'Abbaye, 92 Bellevue.
- COUTEAUX (R.), CAS, PFS, 1, rue Michelet, Paris (VI\*).
- CUGNAC (A. de), PFS, DLHE, 51, boulevard Saint-Michel, Paris (V\*).
- DEBRAY (C.), MAM, AFM, MH, 3, rue Pierre-le-Grand, Paris (VIII\*).
- DECOURT (J.), MAM, PFM, MH, 20, avenue Rapp, Paris (VII\*).
- DEJOURS (P.), PFM, Laboratoire de Physiologie respiratoire, CNRS, 23, rue Becquerel, 67087 Strasbourg Cedex.
- DELAY (J.), MAF, MAM, PFM, MH, 53, avenue Montaigne, Paris (VIII\*).
- DELGA (J.), MAP, Professeur au Val-de-Grâce, 6, rue Claude-Matrat, 92 - Issy-les-Moulineaux.
- DESCHIENS (R.), MAM, CSIP, 96, rue Falguière, Paris (XV\*).
- DEYSSON (G.), MAP, PFP, DLHE, Laboratoire de Biologie cellulaire, 4, avenue de l'Observatoire, 75270 Paris Cedex 06 et 52, avenue René Coty, 75014 Paris.
- DJOURNO (A.), MAM, PFM, 1, rue La Condamine, Paris (XVII\*).
- DRACH (P.), PFS, 83, avenue Denfert-Rochereau, Paris (XIV\*).
- DREYFUS (J. C.), PFM, Laboratoire de Biochimie médicale, Hôpital des Enfants Malades, 149, rue de Sèvres, 75730 Paris Cedex 15 et 29, avenue Gallois, 92340 Bourg la Reine.
- DRILHON-COURTOIS (M<sup>me</sup> A.), DAHE, 20, rue de l'Odéon, Paris (VI\*).
- DUPLAN (J. F.), Unité INSERM 117, 180, rue Saint-Genès, 33000 Bordeaux.
- FASQUELLE-SAINT YVES-MÉNARD (R.), MAM, PFM, 18, route de Malabry, 92 Le Plessis-Robinson.

MM.

- FAUVERT (R.), PFM, Hôpital Beaujon-Clichy, 100, boulevard de Lorraine, 92-Clichy et 250 bis, boulevard Saint-Germain, Paris (VI\*).
- FESSARD (A.), MAS, MAM, PHCF, 51, rue Molitor, 75016 Paris.
- FINE (J. M.), DR, Laboratoire d'Immunochimie, Centre national de Transfusion sanguine, 6, rue Alexandre Cabanel, 75015 Paris.
- FONTAINE (M.), MAS, MAM, PM, 57, rue Cuvier, Paris (V\*), 25, rue Pierre-Nicole, Paris (V\*).
- GAJDOS (A.), CLFM, 44, rue Cardinet Paris (XVII\*).
- GAJDOS (M<sup>me</sup> M.), DAHE, 44, rue Cardinet, 75 - Paris (XVII\*).
- GALLIARD (H.), MAM, PHFM, Laboratoire de Parasitologie, 15, rue de l'Ecole de Médecine, Paris (VI\*).
- GAUTHERET (R.), MAS, PFS, DLHE, 12, rue Cuvier, Paris (V\*).
- GAYET-HALLION (M<sup>me</sup> T.), 54, rue du faubourg Saint-Honoré, 75 - Paris (VIII\*).
- GIRARD (G.), CSIP honoraire, 81-83, rue Cambronne, 75 - Paris (XV\*).
- GIROUD (A.), MAM, PFM, 44, rue de l'Assomption, Paris (XVI\*).
- GIROUD (P.), MAM, CSIP, 28, rue du Docteur-Roux, Paris (XV\*).
- GLEY (P.), MAM, AFM, CTFM, 8, rue de Tournon, Paris (VI\*).
- GOUGEROT (L.), PFM, 45, rue des Saints-Pères, Paris (VI\*).
- GOUNELLE DE FONTANEL (H.), MAM, D. Laboratoire de Nutrition, Centre de Recherches Foch, 4, avenue de l'Observatoire, Paris (VI\*).
- GRASSÉ (P. P.), MAS, PFS, Laboratoire d'Evolution, 105, boulevard Raspail, Paris (VI\*).
- GRICOUROFF (G.), CS à la Fondation Curie (Institut du Radium), 26, rue d'Ulm, Paris, (V\*) et 12, rue Emile-Faguet, Paris (XIV\*).
- GUILLAUMIE (M<sup>me</sup> M.), CSIP, 25, rue du Docteur Roux, Paris (XV\*).
- GUILLEMIN (R.), Prix Nobel, Baylor University, College of Medicine, Houston 25, Texas, U.S.A.



MM.

- GUINOCHE (M.), PFS, Laboratoire de Biologie végétale, 91405 Orsay Cedex.
- HALPERN (B.-N.), MAS, MAM, PCF, GLFM, 197, boulevard Saint-Germain, Paris (VII\*).
- HEIM (R.), MAS, DM, DLHE, 12, rue Buffon, Paris (V\*).
- JAYLE (M. F.), PFM, Laboratoire de Chimie biologique, Faculté de Médecine, 45, rue des Saints-Pères, Paris (VI\*).
- JOST (A.), PCF, 11, place Marcelin Berthelot, 75231 Paris Cedex 05.
- JUSTIN-BESANÇON (L.), MAM, PFM, MH, 38, rue Barbet-de-Jouy, Paris (VII\*).
- JUTISZ (M.), Laboratoire des Hormones polypeptidiques, C.N.R.S., 91190 Gif-sur-Yvette.
- KAYSER (M<sup>me</sup> D.), Laboratoire de Biophysique, Faculté de Médecine, 45, rue des Saints-Pères, 75270 Paris Cedex 06.
- KHOUVINE (M<sup>me</sup> Y.), DR, Institut de Biologie physico-chimique, 13, rue Pierre-Curie, Paris (V\*).
- LAGE (P.), PFS, Laboratoire de Physiologie générale, 9, quai Saint-Bernard, Paris (V\*).
- LAMBIN (M<sup>me</sup> S.), MAP, PFP, 15, rue Saussier-Leroy, 75017 Paris.
- LAPIERRE (J.), 16, rue de Seine, 75006 Paris.
- LAPORTE (Y.), PCF, 11, place Marcelin-Berthelot, 75231 Paris Cedex 05.
- LAROCHE (Guy), MAM, PHFM, MH, 101, rue de Miromesnil, 75008 Paris.
- LATARJET (R.), MAS, CSIP, Directeur de l'Institut du Radium et de la Fondation Curie (section Biologie), 26, rue d'Ulm, Paris (V\*).
- LAUMONIER (R.), Ecole Nationale de Médecine et de Pharmacie, 76000 Rouen.
- LAVOLLAY (J.), MAA, PCAM, CCFS, 292, rue Saint-Martin, Paris (III\*).
- LECHAT (P.), MAP, PFM, 44, rue Saint-Didier, 75116 Paris.
- LELOUP (J.), Laboratoire de Physiologie générale, Museum National d'Histoire Naturelle, 7, rue Cuvier, 75005 Paris.

MM.

- LEMAIRE (A.), MAM, PFM, MH, 55, avenue de Saxe, Paris (VII\*).
- LENDER (T.), PFS, Laboratoire de Biologie animale, 91405 Orsay.
- LÉPINE (P.), MAS, MAM, CSIP, 25, rue du Docteur Roux, Paris (XV\*) et 90 bis, avenue Henri-Martin (XVI\*).
- LEVADITI (J.), CSIP, 25, rue du Docteur-Roux, Paris (XV\*).
- LÉVY (M<sup>me</sup> J.), PFM, 126, boulevard du Montparnasse, Paris (VI\*).
- LEWIN (J.), Directeur technique du Centre national de Transfusion sanguine, 13, rue Eugène-Carrière, Strasbourg.
- LOEPER (J.), GLFM, 3, square de Luynes, Paris (VII\*).
- MANGENOT (G.), PFS, 12, rue Cuvier et 38, rue Lacépède, Paris (V\*).
- MARNAY-GULAT (M<sup>me</sup> C.), Laboratoire de Physiologie, Faculté de Pharmacie, 4, avenue de l'Observatoire, 75270 Paris Cedex 06.
- MARQUIS (M.), PFM, Laboratoire d'Histologie, CHU Saint-Antoine, 27, rue Chaligny, 75-Paris (XII\*).
- MERKLEN (F.-P.), MAM, MH, PFM, 108, boulevard Saint-Germain, Paris (VI\*).
- MICHEL (R.), MAP, PFP, Endocrinologie, 4, avenue de l'Observatoire, Paris (VI\*) et 3, rue Charles-Dickens, Paris (XVI\*).
- MIGNOT (J.), Laboratoire d'Anatomie pathologique, Faculté de Médecine, rue de l'Ecole de Médecine, 75 - Paris (VI\*).
- MILLOT (J.), MAS, AFM, PM, 55, rue Buffon, Paris (V\*) et 14 bis, avenue du Président-Wilson, Paris (XVI\*).
- MOLLARET (P.), PFM, MH, CSIP, 12, rue du Parc Montsouris. Paris (XIV\*).
- MONNIER (A.-M.), MAM, PFS, DLHE, 2, square Montsouris, Paris (XIV\*).
- MOREL (F.), PCF, Physiologie cellulaire, Collège de France, 11 place Marcelin-Berthelot, 75-Paris (V\*).
- MOSZKOWSKA-KAGAN (M<sup>me</sup> A.), Laboratoire d'Histophysiologie, 4, avenue Gordon Bennett, 75016 Paris.

MM.

- MOYSE (A.), PFS, Laboratoire de Physiologie végétale, 91405 Orsay.
- MUTERMILCH (S.), 6, rue Eugène-Millon, Paris (XV\*).
- ORCEL (L.), PFM, 20, rue de Longchamp, 75116 Paris.
- PARROT (J.-L.), MAM, PFM, 27 boulevard Pereire, Paris (XVII\*).
- PAUPE (J.), 47, boulevard Garibaldi, 75015 Paris.
- PIETTE (M.), MAP, PFP, Laboratoire d'Hématologie, 4, avenue de l'Observatoire, 75270 Paris Cedex 06.
- PLANTEFOL (L.), MAS, PFS, Laboratoire de Botanique, Ecole normale, 45, rue d'Ulm et 14, rue de l'Abbé-de-l'Epée, Paris (V\*).
- POLONOVSKI (J.), PFM, Laboratoire de chimie biologique, Faculté de Médecine, 45, rue des Saints-Pères, Paris (VI\*).
- POUMEAU-DELILLE (G.), CAM, MH, à Buenos-Aires.
- PRENANT (M.), PFS, DLHE, 6, rue Toullier, Paris (V\*).
- PRÉVOT (A.), MAS, MAM, CSIP, 25, rue du Docteur Roux, Paris (XV\*).
- QUEVAUVILLER (A.), MAP, PFP, 4, avenue de l'Observatoire, Paris (VI\*).
- RACADOT (J.), PFM, Laboratoire d'Histologie et Embryologie, C.H.U. Pitié-Salpêtrière, 105, boulevard de l'Hôpital, 75634 Paris Cedex 13.
- RAMBERT (P.), 2, rue de la Trémoille, Paris (VII\*).
- RAOUL (Y.), MAM, MAP, PFP, PhH, Laboratoire de Physiologie, 4, avenue de l'Observatoire, 75 - Paris (VI\*).
- RAYNAUD (A.), CLIP, Institut Pasteur, 95 Sannois.
- ROBIN (M<sup>me</sup> Y.), DLHE, Collège de France, 11, place Marcellin-Berthelot, 75231 Paris Cedex 05.
- ROCHE (J.), MAS, MAM, PHCF, Collège de France, 11, Place Marcellin-Berthelot, 75231 Paris Cedex 05.
- ROSENBERG (A. J.), Institut de Biologie physico-chimique, 13, rue P. et M. Curie, 75005 Paris.
- RUDALI (G.), Fondation Curie, 26, rue d'Ulm, 75231 Paris Cedex 05.

MM.

- SCHAPIRA (G.), PFM, Institut de Pathologie moléculaire, CHU Cochin, 24, rue du Faubourg Saint-Jacques, 75-Paris (XIV\*) et 70, rue de Grenelle, Paris (VII\*).
- SCHERRER (J.), PFM, Association Claude Bernard, 47, boulevard de l'Hôpital, Paris (XIII\*).
- SOULAIRAC (A.), PFS, 55, boulevard Saint-Jacques, Paris (XIV\*) et Laboratoire de Psychophysologie, Faculté des Sciences, 9, quai Saint-Bernard, Paris (V\*).
- STROHL (A.), MAM, PFM, 13, rue Pierre-Nicole, Paris (V\*).
- STRUMZA (M. V.), CTFM, Laboratoire de Physiologie, 45, rue des Saints-Pères, 75 - Paris (VI\*) et 20, rue Daru, 75 - Paris (VIII\*).
- TAUC (L.), Laboratoire de Neurobiologie cellulaire, C.N.R.S., 91190 Gif-sur-Yvette.
- THIBAUT (Ch.), MR, 23, rue Viète, Paris (XVII\*) et Station de Recherches de Physiologie animale, 78 Jouy-en-Josas.
- THOAI (Ng. v.), DR, DLHE, Laboratoire de Biochimie générale et comparée, Collège de France, 11, place Marcellin Berthelot, Paris (V\*) et 20, rue J. L. Sinet, 92 - Sceaux.
- THOMAS (J.-A.), MAS, MAM, PFS, Laboratoire de Biologie cellulaire, Faculté des Sciences, 7 quai Saint-Bernard, Paris (V\*).
- TISSIER (M<sup>me</sup> M.), CLFM, 10, rue de Richelieu, Paris (I\*).
- TONNELAT (J.), PFS, 91405 Orsay.
- TRAVERSE (P. de), Institut de Biologie clinique, Hôpital Cochin, 27, Faubourg St-Jacques, 75 - Paris (XIV\*).
- TRUHAUT (R.), MAS, MAM, MAP, PFP, Laboratoire de Toxicologie, 4, avenue de l'Observatoire, Paris (VI\*).
- TUCHMANN-DUPLESSIS (H.), PFM, 67, avenue Raymond-Poincaré, Paris (XVI\*).
- VALETTE (G.), MAM, MAP, PFP, PhH, 27, rue du Faubourg Saint-Jacques, Paris (XIV\*).
- VALLOIS (H.), MAM, PM, D, Institut de Paléontologie, 1, rue Panhard, Paris (XIII\*).
- VARANGOT (J.), MAM, PFM, 42 bis, rue Cardinet, Paris (XVII\*).

MM.

VEIL (M<sup>me</sup> C.), CTFS, 23, rue Jus-sieu, Paris (XV°).

VELLIZ (L.), MAS, MAM, MAP, 28, rue Saint-Dominique, 75 - Paris, (VII°).

VERNE (J.), MAM, PFM, 38, rue de Varenne, Paris (VII°) et Labora-toire d'Histologie, Faculté de Mé-decine, 45, rue des Saints-Pères, Paris (VI°).

VIEUCHANGE (J.), CLHIP, 54, avenue de Breteuil, 75007 Paris.

MM.

VILTER (V.), MR, Laboratoire d'Eco-logie histophysiologique, 1, rue Woluwe St-Lambert, 92 Meudon-la-Forêt.

WELLERS (G.), 6, rue du Loing, 75014 Paris.

ZIZINE (L.), Laboratoire de Physio-logie nutritionnelle des Hormo-nes et des Vitamines, Faculté de Médecine, rue de l'Ecole de Méde-cine, 75270 Paris Cedex 06 et 129, rue de l'Abbé Groult, 75015 Paris.

MEMBRES TITULAIRES.

MM.

ANDRÉ (J.), PFS, Laboratoire de Biologie cellulaire 4, Université Paris XI, 91405 Orsay Cedex. (13 avril 1976).

BEAUMONT (A.), PFS, Laboratoire de Biologie des Vertébrés, Univer-sité de Paris-Sud, 91405 Orsay. (4 mai 1974).

BESANÇON (F.), PFM, MH, 14, boule-vard Emile Augier, 75 - Paris (XVI°). (27 octobre 1970).

BLOCH (V.), PFS, Département de Psychophysiologie, L.P.N. - C.N. R.S., 91190 Gif-sur-Yvette (8 mars 1977).

BOFFA (G. A.), PFM, Biochimie mo-léculaire, Centre National de Transfusion Sanguine, 6, rue Alexandre Cabanel, 75-Paris (XV°). (9 juin 1970).

BOISSIER (J. R.), PFM, DR, Phar-macologie II, Faculté de Méde-cine, 15, rue de l'Ecole de Méde-cine, 75 - Paris (VI°). (13 mai 1969).

BOULU (R.), PFP, Laboratoire de Pharmacodynamie, 4, avenue de l'Observatoire, 75270 Paris Cedex 06 et 26, rue Boileau, 75016 Paris. (8 mars 1977).

BURGEAT (D.), PFM, Laboratoire de Biophysique, 45, rue des Saints-Pères, 75270 Paris Cedex 06. (21 octobre 1975).

CAEN (J.), PFM, Laboratoire d'Hé-mostase, Institut de Recherches sur les Maladies du Sang, Hôpital Saint-Louis, 2, place du Docteur Fournier, 75475 Paris Cedex 10. (14 janvier 1975).

MM.

CAPPONI (M.), CLIP, 3, avenue de La Fontaine, 92410 Ville d'Avray. (12 mai 1970).

CHARARAS (C.), 38 bis, avenue René Coty, 75014 Paris (10 mai 1977).

CHARNIAUX-COTTON (M<sup>me</sup> H.), Labo-ratoire de Génétique évolutive et de Biométrie, 91190 Gif-sur-Yvette (21 mars 1972).

COQUOIN-CARNOT (M<sup>me</sup> M.), Labo-ratoire de Physiologie obstétricale, Faculté de Médecine, 15, rue de l'Ecole de Médecine, 75270 Paris Cedex 06 et 19, avenue Margue-rite Renaudin, 92140 Clamart. (25 janvier 1969).

COTTENOT (F.), PFM, MH, 30, rue Guynemer, 75006 Paris (18 jan-vier 1972).

DADOUNE (J. P.), AFM, Laboratoire d'Histologie, 45, rue des Saints-Pères, 75270 Paris Cedex 06, (11 janvier 1977).

DAUSSET (J.), MAS, MAM, PFM, La-boratoire d'Immuno-Hématolo-gie, Institut de Recherches sur les maladies du Sang, Hôpital Saint-Louis, 2, place du Docteur Fournier, 75475 Paris Cedex 10. (4 mai 1974).

DELAVAILLANT (R.), PFS, Biologie cellu-laire et animale, 45045 Orléans Cedex. (21 octobre 1975).

DELBARRE (F.), PFM, DR, 15, rue Gay-Lussac, 75 - Paris (V°). (22 février 1969).

DODIN (A.), Institut Pasteur, 25, rue du Docteur Roux, 75724 Paris Cedex 15. (13 avril 1976).

MM.

- FARDEAU (M.), Service de Microscopie électronique, Hôpital Salpêtrière, 47, boulevard de l'Hôpital, 75013 Paris (22 février 1972).
- FONTAINE (Y. A.), Laboratoire de Physiologie, Muséum National d'Histoire Naturelle, 7 rue Cuvier, 75005 Paris. (16 octobre 1973).
- FUZEAU-BRAESCH (M<sup>me</sup> S.), UER de Biologie, Faculté des Sciences, 91405 Orsay Cedex. (24 février 1976).
- GIROUD (J. C.), PFM, 4, rue Monsieur, 75007 Paris. (20 mai 1975).
- GORENFLOT (G.), PFS, Laboratoire de Biologie végétale C, Bâtiment 362, 91405 Orsay Cedex (11 janvier 1977).
- HENROTTE (J. G.), Equipe de Biométrie humaine, Pavillon Achard, Hôpital Cochin, 27, rue du faubourg Saint-Jacques, 75014 Paris. (15 mai 1973).
- HOULLON (C.), PFS, Laboratoire de Biologie animale, 12, rue Cuvier, 75005 Paris. (19 février 1974).
- HOUSSET (E.), PFM, Hôpital Broussais, 96, rue Didot, 75674 Paris Cedex 14. (19 février 1974).
- LACHIVER (F.), Laboratoire de Physiologie générale et comparée, Muséum National d'Histoire Naturelle, 7, rue Cuvier, 75005 Paris. (15 octobre 1974).
- LAPRESLE (J.), PFM, Service de Neurologie, Hôpital de Bicêtre, 78, rue du Général Leclerc, 94270 Le Kremlin Bicêtre. (18 mai 1971).
- LEJEUNE (J.), PFM, Génétique fondamentale Institut de Progenèse, 15, rue de l'Ecole de Médecine, 75270 Paris Cedex 06. (24 février 1976).
- LEMAIRE (R.), PFM, Laboratoire de Physiologie, Hôpital Cochin-Port-Royal, 24, rue du faubourg Saint-Jacques, 75674 Paris Cedex 14. (1<sup>er</sup> juin 1976).
- MALLET (L.), MHH, 19-21, rue Féli-cien David, 78100 Saint Germain en Laye. (28 octobre 1969).

MM.

- MANIGAULT (P.), Institut Pasteur, 25, rue du Docteur Roux, 75-Paris (XV<sup>e</sup>). (27 janvier 1970).
- MARTINET (M<sup>me</sup> M.), 2, rue Balny d'Avricourt, 75-Paris (XVII<sup>e</sup>). (24 février 1970).
- MONSAINGEON (A.), PFM, Hôpital Paul Brousse, 14, avenue P. Vail-lant-Couturier, 94800 Villejuif (20 juin 1972).
- NIAUSSAT (P.), 23, rue de l'Orange-rie, 78000 Versailles. (16 février 1971).
- NOUGARÈDE (M<sup>me</sup> A.), PFS, Labora-toire de Cytologie et Morphogè-nèse végétale, 9 quai Saint-Ber-nard, 75230 Paris Cedex 05. (14 janvier 1975).
- PORTET (R.), Laboratoire d'Adapta-tion énergétique à l'Environne-ment, Collège de France, 11, pla-ce M. Berthelot, 75231 Paris Cedex 05. (11 mars 1975).
- ROFFI (J.), PFS, Laboratoire d'En-docrinologie, Université Paris XI, 91405 Orsay. (20 mai 1975).
- ROSSIGNOL (P.), PFP, Laboratoire de Pharmacodynamie, 4, avenue de l'Observatoire, 75-Paris (VI<sup>e</sup>). (14 avril 1970).
- ROUX (C.), PFM, Laboratoire d'Em-bryologie, Hôpital Saint-Antoine, 27, rue de Chaligny, 75571 Paris Cedex 12. (1<sup>er</sup> juin 1976).
- RUFFIÉ (J.), CAM, PCF, Laboratoire d'Anthropologie physique, 11, place Marcellin Bethelot, 75231 Paris Cedex 05. (11 mars 1975).
- SAVEL (J.), PFP, Laboratoire de Biologie animale et parasitaire, UER de Biologie humaine et expérimentale, Université René Descartes, 4, avenue de l'Obser-vatoire, 75270 Paris Cedex 06. (25 avril 1972).
- SCHAPIRA (M<sup>me</sup> F.), Institut de Pathologie moléculaire, 24, rue du faubourg Saint-Jacques, 75014 Paris. (16 novembre 1971).
- SZABO (T.), Physiologie nerveuse, Groupe des Laboratoires du C.N.R.S., 91190 Gif-sur-Yvette. (20 février 1973).

MM.

TIXIER-VILAL (M<sup>me</sup> A.), MR, Laboratoire de Biologie moléculaire, Collège de France, 11, place Marcelin-Berthelot, 75 - Paris (V\*).  
(10 juin 1969).

MM.

WEPPIERRE (I.), PFP, Laboratoire de Pharmacodynamie, rue J.-B.-Clément, 92290 Chaty-enay Malabry,  
(15 octobre 1974).

MEMBRES ASSOCIÉS

MM.

BERNARD (J.), MAF, MAS, MAM, PFM, Institut de Recherches sur les maladies du Sang, Hôpital Saint-Louis, 2 place du Docteur Fournier, 75475 Paris Cedex 10.  
BOVET (D.), AAS, AAM, Prix Nobel, Istituto Superiore di Sanità, Rome.  
CHAGAS (C.), CAS, CAM, PU, à Rio de Janeiro.  
COURNAND (A.), AAS, AAM, Prix Nobel, The Rockefeller Institute for Medical Research, New-York.  
DE DUVE (C.), PFM, International Institut of Cellular and Molecular Pathology, Bruxelles, Belgique.  
DUBOS (R. J.), PU, CS, The Rockefeller Institute for Medical Research, New-York.  
DUCLAUX (J.), MAS, PHCF, 11, place Marcelin-Berthelot (V\*) et 39, rue de l'Arbalète, Paris (V\*).  
ENGELHARDT (W. A.), PHFS, Académie des Sciences de l'U.R.S.S., Moscou.  
EPRUSSI (B.), PFS, Institut de Biologie physicochimique, 13, rue Pierre Curie, Paris (V\*).  
EVANS (H. M.), PU, Berkeley Coll. U.S.A.  
FLORKIN (M.), CAM, PU, Institut de Biochimie de l'Université, 14, place Delcourt, Liège, Belgique.

MM.

FOX (H. Munro), FRS, PHU, Bedford College for Women, Londres.  
FRÉDÉRICQ (H.), CAM, PFM, Liège.  
GOLDSCHMIDT (R.), PU, à Berkeley, Californie (U.S.A.).  
HAMBURGER (J.), MAS, MAM, PFM, Centre de Recherches néphrologiques, Hôpital Necker, 161, rue de Sèvres, 75730 Paris Cedex 15.  
HASEGAWA (S.), D. Institut des Maladies Infectieuses, à Tokio.  
HAŠEK (M.), P.U., à Prague.  
JOUVET (M.), MAS, PFM, à Lyon.  
LEBLOND (C. P.), PU, Université Mac Gill, Montréal, Canada.  
NEEDHAM (N. J.), FRS, PU, School of Medicine, Cambridge, Angleterre.  
PALADE (G. E.), Prix Nobel, Rockefeller Institute, New-York.  
PARK (W. H.), CAM, PU, à New-York.  
THEORELL (H.), PU, Prix Nobel, Karolinska Institutet, Stockholm (Suède).  
TURCHINI (J.), MAM, PFM, à Montpellier.  
VANDEL (A.), MAS, PHFS, à Toulouse.  
VISCHER (M. de), PU, à Louvain.

MEMBRES CORRESPONDANTS NATIONAUX.

MM.

ABELOOS (M.), PFS, à Marseille.  
ALFIERI (R.), PFM, à Clermont-Ferrand.  
ARON (E.), CAM, PFM, à Tours.  
ARVANITAKI-CHALAZONITIS (M<sup>me</sup> A.), à Marseille.  
AYEL (M.), CAS, PFS, à Bordeaux.  
BAÏSSET (A.), CAM, PFM, à Toulouse.

MM.

BARRÉ (J. A.), PHFM, à Strasbourg.  
BEAU (A.), à Nancy.  
BEAUCHAMP (P. de), CAS, PHFS, à Paris.  
BERGER (M.), PFM, à Lyon.  
BERNARD (F.), PFS, à Alger.  
BERTOYE (A.), Institut Pasteur, à Lyon.

MM.

BISERTE (G.), PFM, à Lille.  
 BLANQUET (P.), PFM, à Bordeaux.  
 BOISTEL (J.), PFS, à Rennes.  
 BOUCHIER (M<sup>me</sup> G.), DH, Institut  
 Arloing de Tunis, Villefranche-  
 sur-Saône.  
 BOULANGER (P.), MAM, PFM, à Lille.  
 CANIVENC (R.), PFM, à Bordeaux.  
 CHAMBON (Y.), PFM, à Rennes.  
 CIER (J. F.), CAM, PAFM, à Lyon.  
 CLAVERT (J.), CAM, PFM, à Stras-  
 bourg.  
 DEHORNE (A.), PHFS, à Lille.  
 DELAMARE (G.), CAM, à Buenos-Ai-  
 res.  
 DELOST (P.), PFS, à Clermont-Fer-  
 rand.  
 DERRIEN (Y.), CAM, PFM, à Mar-  
 seille.  
 DESNUELLE (P.), CAS, PFS, à Mar-  
 seille.  
 DÉVÉ (F.), MAM, PEM, à Rouen.  
 DUFRÉNOY (J.), 9, rue de Condé,  
 Paris (VI<sup>e</sup>).  
 EBEL (J. P.), CAM, PFS, à Stras-  
 bourg.  
 FABIANI (G.), CAM, PFM, à Greno-  
 ble.  
 FABRE (R.), PFM, à Bordeaux.  
 FLOCH (H.), DIP, à Rennes.  
 FLORENTIN (P.), PFM, à Nancy.  
 GASTAUT (J. A.), à Marseille.  
 GATÉ (J.), CAM, PHFM, à Lyon.  
 GAVAUDAN (P.), PFS, à Poitiers.  
 GRANGAUD (R.), PFM, à Rennes.  
 GRIBENSKI (A.), PFS, à Rouen.  
 HÉDON (L.), CAM, PFM, à Montpel-  
 lier.  
 JOUAN (P.), PFM, à Rennes.  
 JOURDAN (F.), PFM, à Lyon.

MM.

JULLIEN (A.), PFS, PEM, à Besan-  
 çon.  
 JUNG (A.), CAM, DH, Ecole Natio-  
 nale vétérinaire, à Lyon.  
 KARLI (P.), PFM, à Strasbourg.  
 KAYSER (Ch.), CAM, PFM, à Stras-  
 bourg.  
 LARAMBERGUE (M. de), PFS, à Poi-  
 tiers.  
 LEBLOND (C.), P, Mac Gill Univ., à  
 Montréal.  
 LEGAIT (E.), PFM, à Nancy.  
 LUTZ (H.), PFS, à Clermont-Fer-  
 rand.  
 MANDEL (P.), PFM, à Strasbourg.  
 MAYER (G.), CAM, PFM, à Bordeaux.  
 MERCIER (F.), CAM, PFM, à Mar-  
 seille.  
 MEYNIEL (G.), PFM, à Clermont-  
 Ferrand.  
 MICHEL-BRIAND (Y.), PFM, à Besan-  
 çon.  
 MONOD (Th.), MAS, PM, Directeur  
 de I.F.A.N. à Dakar.  
 MONTASTRUC (P.), PFM, à Toulouse.  
 MONTREUIL (J.), PFS, à Lille.  
 MOREAU (F.), PFS, à Caen.  
 MORIN (G.), CAS, CAM, PFM, à Mar-  
 seille.  
 PASSOUANT (P.), CAM, PFM, MH, à  
 Montpellier.  
 RAPPIN (G.), PEM, à Nantes.  
 REBEYROTTE (P.), à Bordeaux.  
 SCHWARTZ (A.), PFM, à Strasbourg.  
 STOLL (R.), PFM, à Bordeaux.  
 TAYEAU (F.), MAM, PFM, à Bor-  
 deaux.  
 VANLEREMBERGHE (J.), PFM, à Lille.  
 VINTEMBERGER (P.), CAM, PHFM,  
 à Strasbourg.  
 VIVIEN (J. H.), PFS, à Strasbourg.  
 WARTER (S.), PFM, à Strasbourg.

MEMBRES CORRESPONDANTS ÉTRANGERS

MM.

Allemagne

HERING (H.-E.), PU, à Cologne.  
 GAUER (O. H.), P.U., à Berlin (Dah-  
 lem).  
 KARLSON (P.), PFM, à Marburg  
 (Lahn).

MM.

Argentine

CASTILLO (del) PFM, à Buenos-Aires.  
 FOGLIA (V. G.), CAM, PFM, à  
 Buenos-Aires.  
 SORDELLI (A.), PFS, à Buenos-Ai-  
 res.



MM.

**Belgique**

BACQ (Z. M.), PFS, à Liège.  
BOUCKAERT (J. P.), PU, à Louvain.  
CHÈVREMONT (M.), PU, à Liège.  
DUBUISSON (M.), PU, à Liège.  
GREGOIRE (P. E.), PFM, à Bruxelles  
HEPLANT (M.), CAS, CAM, PFM, à Bruxelles.  
LA BARRE (J.), PFM, à Bruxelles.  
MASSART (L.), PU, à Gand.  
PASTEELS (J.), PU, à Bruxelles.  
SPEHL (J.), PU, à Bruxelles.

**Brésil**

BEAUREPAIRE-ARAGO (H. de), Institut Oswaldo-Cruz, à Rio de Janeiro.  
BRAZIL (Vital), D Institut Butantan, à Sao-Paulo.  
CHAGAS (C.), AAM, CAS, PU, Institut de Biophysique, à Rio de Janeiro.  
FONSECA (O. de), PFM, à Rio de Janeiro.  
FONTES (A.), Institut Oswaldo Cruz, à Rio de Janeiro.

**Bulgarie**

BRATANOV (K.), PU, à Sofia.

**Canada**

QUASTEL (J. H.), P, Mac Gill University, à Montréal.  
SELYE (H.), PU, Université de Montréal.

**Chili**

CRUZ-COKE, CAM, PU, à Santiago.  
LIPSCHÜTZ (A.), PU, à Concepcion.

**Costa-Rica.**

PICADO (C.), D du laboratoire de l'hôpital San-José, à Costa-Rica.

MM.

**Danemark**

CHRISTENSEN (M.), chef de division à l'Institut sérothérapique, à Copenhague.  
SAND (Knud), PFM, à Copenhague.

**Espagne**

GIMENEZ-MARTIN (G.), PFM, à Madrid.

**Etats-Unis**

BAILEY (P.), CAM, à Chicago.  
BEADLE (G. W.), P, California Institute of Technology.  
CARLSON (A. J.), PU, à Chicago.  
CHAMBERS (R.), CAM, P, à Cornell University, New-York.  
CORNER (P.), Fondation Carnegie, à Baltimore.  
DU BOIS (E. F.), P, Cornell University, à New-York.  
FULTON (J. F.), PU, à New Haven.  
HISAW (F. L.), PU, à Cambridge, Mass.  
KABAT (E. A.), P, Columbia University, New-York.  
KNUDSON (L.), P, Cornell University, à Ithaca.  
LIPMANN (F.), PU, Prix Nobel, Rockefeller Institute, New-York.  
LOMBARD (N. P.), PU, à Ann Arbor.  
MORGAN (Mrs L. V.), P, California Institute of Technology.  
MÜLLER (H. J.), PU, Texas.  
NOVY (F. G.), PU, à Ann Arbor.  
OSTERHOUT (J. V.), P, Institut Rockefeller, New-York.  
PORTER (W. T.), P, Harvard University, à Cambridge, Mass.  
RALL (J. E.), PU, D N.I.H., Bethesda, Md.  
SAWYER (W. A.), D, International Health Division Rockefeller Foundation, New-York.  
SONNEBORN (T. M.), P, Indiana University.  
STRONG (R. P.), P, Harvard University à Cambridge, Mass.

**MM.**

**Grande-Bretagne**

- BAILEY (K.), Biochemical Laboratory, à Cambridge.  
BEER (G. R. de), P, University College, à Londres. D. Brit. Mus. Nat. History.  
HEAR (H.), à Londres.  
HILL (R.), Biochemical Laboratory, à Cambridge.  
MICHELSON (A. M.), Institut de Biologie physico-chimique, 13 rue Pierre et Marie Curie, 75005 Paris.  
TODD (Lord A. R.), PU, FRS, à Cambridge.  
TOPLEY (W. W. C.), PU, à Londres.  
WIGGLESWORTH (V. B.), PU, FRS, à Cambridge.

**Hollande**

- BOEKE (J.), PU, à Utrecht.  
JORDAN (H. J.), PU, à Utrecht.  
RAVEN (C. P.), PFS, à Utrecht.  
RIJNBEEK (G. van), PFM, à Amsterdam.

**Hongrie**

- HOLLAN (M<sup>me</sup> S.), PU, à Budapest.  
HUTYRA (F. de), P, Ecole supérieure vétérinaire, à Budapest.  
STRAUB (F. B.), PU, à Budapest.  
SZENT-GYÖRGYI (A.), PU, Experimental Biology and Medicine Institute, Bethesda, Maryland, U.S.A.

**Irlande**

- BARRY (D. T.), PU, à Cork.

**Israël**

- GROSS (J.), PFM, à Jérusalem.

**Italie**

- ALOISI (M.), PU, à Padoue.  
CASTELLANI (A.), P, London School of tropical Medicine and Hygiene, à Londres.  
ERSPARNER (V.), PU, à Rome.  
MARGARIA (R.), PFM, à Milan.  
PEZZI (C.), PFM, à Pavie.  
ROSSI-FANELLI (A.), PFM, à Rome.  
SALVATORE (G.), PFM, à Naples.

**MM.**

**Japon**

- EGAMI (F.), PFS, à Tokio.  
MIURA (K.), AAM, PFM, à Tokio.  
NAGANO (Y.), PFM, à Tokio.  
TAKEUCHI (H.), PFM, à Okoyama.

**Madagascar**

- RATSIMAMANGA (A. R.), CAS, CAM, DR, DLHE, Faculté de Médecine, 21, rue de l'Ecole de Médecine, Paris (VI<sup>e</sup>).

**Norvège**

- HOLST (A.), PU, à Oslo.  
NICOLAYSEN (R.), PHU, à Oslo.

**Pologne**

- BAEHR (V. de), PU, à Varsovie.  
DOMBROWSKI (S.), PU, à Poznan.  
FUNK (C.), D, Institut d'Hygiène de l'Etat, à Varsovie.  
HIRSCHLER (J.), PU, à Lwow.  
STEFANSKI (W.), CAS, PU, à Varsovie.

**Portugal**

- GUIMARAIS (J. A.), PFM, à Porto.

**Roumanie**

- MILCU (S.-M.), PFM, Directeur de l'Institut d'Endocrinologie de l'Académie, à Bucarest.

**Suède**

- CASPERSSON (T.), PU, à Stockholm.  
LILJESTRAND (G.), PU, à Stockholm.  
HORSTADIUS (S.), PFS, à Upsala.  
RUNNSTROM (J.), PU, à Stockholm.

**Suisse**

- BALTZER (F.), PU, à Berne.  
BAUD (Ch.), CAM, PFM, à Genève.  
FAVARGER (P.), PFM, à Genève.  
FLEISCH (A.), CAM, PFM, à Lausanne.  
MATTHEY, PU, à Lausanne.  
MURALT (A. von), à Berne.  
PONSE (M<sup>me</sup> K.), PU, à Genève.  
RUSZICKA (L.), à Zurich.  
SEILER, à Zurich.



MM.

**Tchécoslovaquie**

KRUTA (V.), PU, à Brno.

NEMEC (B.), P, Institut de Botanique, à Prague.

**U.R.S.S.**

BRAUNSTEIN (A. E.), PU, à Moscou.

LIVENSEV (N. M.), PU, à Moscou.

LUBIMENKO (V.), P, Institut de Botanique de l'Académie des Sciences, à Leningrad.

UCHTOMSKY, PU, à Leningrad.

ZAWADOWSKY (M.), PU, à Moscou.

MM.

**Uruguay**

MUSSIO-FOURNIER (J. C.), à Montevideo.

**Venezuela**

PY SUNER (A.), PFM, à Caracas.

**Yougoslavie**

ANDJUS, PU, à Belgrade.

DJURICIC, à Belgrade.

GEORGEVITCH (J.), PU, à Belgrade.

KASTELAN (A.), PFM, à Zagreb.

KOSTITCH, PU, à Belgrade.



# TABLE DES MATIÈRES

## PAR NOMS D'AUTEURS

ANNÉE 1977 — TOME 171

### A

Adellet-Suarez (B.). Voir Gobert (J. G.).

Adessi (G.), Goutte-Coussieu (C.), Tran Quang Nhuan et Jayle (M. F.). Métabolisme, *in vitro*, de la (6,7-<sup>3</sup>H) estrone et du (6,7-<sup>3</sup>H) estradiol par le foie de Cobaye gestant, 20.

Adrian (M.). Voir Niaussat (M. M.).

Agache (P.). Voir Cardot (J. C.).

Aires de Sousa (L.). La splénoportographie sous blocage de l'aorte, 261.

Albano (J. P.). Voir Garnier (L.).

Al Delaimi (K.). Voir Denis (F.).

Allegret (P.). Etude expérimentale du fonctionnement ovarien de *Galleria mellonella* L. (Lépidoptère pyralide) par utilisation conjointe d'hémicastrations et de modifications du régime alimentaire larvaire, 201. Mise en évidence, par le jeûne protidique larvaire, de l'influence des facteurs trophiques sur l'évolution, normale ou atypique, des cellules sexuelles mâles du Lépidoptère pyralide *Galleria mellonella* L., 1068.

Alric (R.). Voir Loubatières (A.).

Al Satli (M.). Données nouvelles sur la durée du pouvoir fécondant du spermatozoïde chez le Rat, 918.

Andreoli (M.). Voir Monaco (F.).

Ardisson (L.). Voir Gastaud (M.).

Aron (C.). Voir Roos (J.).

Artis (J. P.). Voir Stephan (F.).

Athias (P.), Moalic (J. M.), Frelin (C.), Klepping (J.) et Padieu (P.). Potentiels de repos et d'activité des cellules cardiaques de Rat dissociées en culture, 86.

Aubert (M.). Voir Méloné (J.).

Aubry (M. M.). Voir Roux (C.).

Autissier (N.). Voir Buthieu (A. M.).

Autissier-Navarro (C.) et Meinil (R.). Action du dicrotophos sur le développement *in vitro* du tibia de l'embryon de Poulet, 1235.

### B

Baissat (J.). Voir Dureng (G.).

Balthazart (J.) et Hendrick (J. C.). Contrôle hormonal du comportement et de la croissance testiculaire chez la Caille *Coturnix coturnix japonica*, 656.

Baret (R.). Voir Girard (C.).

Barjon (P.). Voir Deloince (R.).

Baron (C.) et Forin (M. C.). Utilisation par une Cyanophycée autotrophe, la Spiruline, d'acétate de sodium <sup>14</sup>C ou de D-glucose <sup>14</sup>C pour les biosynthèses cellulaires, 73.

Barthelemy (L.), Soulier (P.), Thomas (S.), Mabin (D.), Belaud (A.) et Peyraud (C.). Quelques réactions physiologiques de l'Anguille soumise à une hypercapnie exogène : étude électroencéphalographique, 1258.

Bartolucci (S.), Lancieri (M.), Di Jeso (F.) et Vincentiis (M. de). Variations des phosphagènes dans les œufs d'Oursin avant et après la fécondation, 512.

- Basiez (M.). Voir Leinot (M.).
- Bassleer (R.), Paermentier (F. de) et Lanchon-Alonso (J.). Inhibition réversible de la fonction nucléolaire dans des fibroblastes traités *in vitro* par l'adriamycine, 669.
- Baud (M.). Voir Cardot (J. C.).
- Baylé (J. D.). Voir Maurin (J.).
- Bazin (R.). Voir Cardot (J. C.).
- Beaudry (Y.). Voir Deloince (R.).
- Begue (R. J.). Voir Dubost (M.).
- Behr (P.), Meyer (E.) et Wurtz (B.). Influence du NADH et de quelques substrats du cycle de Krebs sur le métabolisme endogène de *Pseudomonas fluorescens* (type S), 954.
- Belaud (A.). Voir Barthelemy (L.).
- Beleslin (D.). Analyse pharmacologique des mouvements de type pendulaire apparaissant pendant le blocage, par le calcium, du péristaltisme de l'iléon isolé de Cobaye, 746. Voir Stojanovic (N.).
- Beleslin (D.) et Samardzic (R.). Analyse pharmacologique du blocage du péristaltisme produit par le magnésium appliqué sur la séreuse et sur la muqueuse de l'iléon isolé de Cobaye, 750.
- Belleville (F.). Voir Lasbennes (A.), Vescovi (G.).
- Benabid (A. L.). Voir Faure (J.).
- Benakis (A.), Corthay (J.), Medlanski (P.), Dormard (Y.) et Lévy (J. C.). Effet d'un extrait de foie sur le système microsomal hépatique et sur un modèle d'intoxication expérimentale, 322.
- Beranger-Novat (N.), Monin (J.) et Singh (C. P.). Essai de définition des états physiologiques les plus favorables à l'action d'un traitement gibbérellinique de levée de dormance chez l'embryon d'*Euonymus europaeus* L., 82.
- Berlan (M.) et Dang-Tran (L.). Réduction de la lipolyse adrénalino-dépendante du tissu adipeux de chien surrénalectomisé par effet alpha adrénergique, 970.
- Bert (H.). Voir Labrid (C.).
- Berthelot (A.), Miss-Pages (C.) et Gairard (A.). Métabolisme calcique et hypertension minéralocorticoïde : effets de la parathormone et de la thyrocalcitonine exogènes et des variations de l'apport en calcium et en magnésium, 1101.
- Bertrand (J. Y.). Voir Gobert (J. G.).
- Besluau (D.). Voir Halpern (B.).
- Besnard (J. C.). Voir Versavel (C.).
- Bidet (J. M.). Voir Chollet (P.).
- Bidet (R.). Voir Cardot (J. C.).
- Biol (M. C.). Voir Miachon (S.).
- Blanc (M. C.). Voir Bruguerolle (B.).
- Blayac (J. P.). Voir Loubatières (A.).
- Bloch (B.). Voir Bugnon (C.).
- Bloch (R.). Voir Bousquet (P.).
- Block (J. C.). Voir Maugras (M.).
- Boero (C.). Voir Dureng (G.).
- Bollack (C.). Voir Helwig (J. J.).
- Bonaly (R.). Voir Touimi Ben-Jelloun (A.).
- Bonardet (A.). Voir Sultan (C.).
- Boneu-Valmalette (A.), Bugat (R.), David (J. F.) et Combes (P. F.). Cinétique du fibrinogène marqué à l'iode 131 chez les cancéreux. Approche pharmacologique, 1293.
- Bonnal (B.). Voir Sultan (C.).
- Bonnet (H.). Voir Sultan (C.).
- Bouillé (C.). Voir Maurin (J.).
- Boulanger (Y.). Duplication génique et évolution des protéines. Cas des aminoacyl-tRNA synthétases, 272.
- Bourdon (V.). Voir Juchmes (J.).
- Bourguignon (J. P.), Leinart-Dourcy (C.) et Franchimont (P.). Excrétion urinaire du LH-RH après injection intraveineuse chez le Lapin et chez l'Homme, 464.
- Bousquet (P.), Gaertner (M.), Feldman (J.) et Bloch (R.). Variations, en fonction de l'anesthésique, des effets de la clonidine sur la pression artérielle du Rat, 1129.
- Bouyard (P.). Voir Bruguerolle (B.).
- Brassine (A.). Voir Heynen (G.).
- Bravo Pimentao (J.). Voir Moniz de Bettencourt (J.).
- Bride (M.). Voir Enée (J.), Stocker (S.).

Brison (J.). Voir Demoulin (A.), Franchimont (P.).

Bruguierolle (B.), Mesdjian (E.), Valli (M.), Blanc (M. C.), Jadot (G.) et Bouyard (P.). Influence de l'âge et du sexe sur la toxicité aiguë chez le Rat : de deux anesthésiques stéroïdiens, 413 ; de deux anesthésiques barbituriques, 846.

Buck (P.). Voir Clavert (A.).

Bueno (L.). Complexe myoélectrique de l'intestin grêle et variations de l'apport alimentaire chez le Mouton, 959.

Bugat (R.). Voir Boneu-Valmalette (A.).

Bugnon (C.), Fellmann (D.), Lenys (D.) et Bloch (B.). Etude cytoimmunologique des cellules gonadotropes et des cellules thyroïdiques de l'adénohypophyse du Rat, 907.

Bugnon (C.), Lenys (D.), Fellmann (D.) et Bloch (B.). Etude des fibres à somatostatine et des fibres à neurophysine dans l'éminence médiane du Renard, par application de la technique cytoimmunologique du double marquage, 576.

Burlet (A.). Voir Dreyfuss (F.).

Buthieu (A. M.) et Autissier (N.). Action des ions  $Mn^{2+}$  sur le métabolisme iodé thyroïdien du Rat, 1024.

## C

Caderas de Kerleau (J.). Voir Sultan (C.).

Cadilhac (J.). Voir Georgesco (I. M.).

Calas (A.). Voir Faure (A.).

Cambar (J.). Influence de la théophylline sur la diurèse et la protéinurie physiologique du Rat blanc, 361.

Cambar (J.) et Gendre (P.). Etude du passage transglomérulaire des macromolécules protéiques chez le Rat : essai d'évaluation quantitative au moyen de la ferritine, 350. Influence de la théophylline sur le passage transglomérulaire des macromolécules de ferritine chez le Rat, 596.

Cambar (J.), Piquet (Y.), Mesnier (F.) et Canellas (J.). Mise en évidence de l'excrétion de substances issues de la membrane basale glomérulaire dans l'urine de Rat, 355.

Cambar (J.) et Saurel (J.). Influence de la théophylline sur le calibre de l'artériole afférente glomérulaire du Rat, 759.

Camous (J. P.). Voir Gastaud (M.).

Canellas (J.). Voir Cambar (J.).

Canivenc (R.). Voir Mauget (R.).

Cardot (J. C.), Bazin (R.), Baud (M.), Agache (P.) et Bidet (R.). Etude de la microcirculation cutanée par diffusion épicutanée de xénon 133, 340.

Castel (J.). Voir Flandre (O.).

Castet (M. C.). Voir Mauget (R.).

Castilla (C.). Voir Paris (H.).

Cataudella (S.). Voir Monaco (F.).

Catayée (G.) et Chalet (M.). Des cellules à activités phosphatasiques de la paroi des capillaires du tissu sous-cutané normal et inflammatoire du Rat, 854.

Cazenave (J. P.). Voir Sick (H.).

Ceccaldi (H. J.). Voir Martin (B. J.), Trellu (J.).

Cecchetti (M.). Voir Heynen (G.).

Cession-Fossion (A.), Staïesse (M.) et Lecomte (J.). Influence du bain de chaleur sèche sur l'élimination urinaire des catécholamines, 1313. Voir Juchmes (J.), Scheen (A.).

Chaisemartin (C.). Bilan de situation dynamique du cuivre chez un Lamellibranche dulçaquicole « sentinelle » : effets des matières en suspension, 619.

Chalet (M.). Voir Catayée (G.).

Chambon (Y.), Le Calvé (M.) et Picard (F.). Essai de synergie entre l'éthynylestradiol et la noréthistérone sur le déciduome histaminique et sur la mucification vaginale de la ratte castrée, 192.

Chambon (Y.), Moulinoux (J. P.) et Fontaine (N.). Importante augmentation des taux hépatique et sanguin de l'histamine après hépatectomie partielle chez le Rat, 644. Action de la tritoqualine sur les taux hépatique et sanguin de l'histamine après hépatectomie partielle chez le Rat, 1283.

Chambon (Y.), Picard (F.) et Le Calvé (M.). Effets synergiques de l'éthinylestradiol et de la noréthistérone sur la réalisation et la prolongation de la dentelle utérine chez la lapine impubère, 631. Voir Le Lannou (D.), Moulinoux (J. P.).

Champiat (D.). Echange de nucléotides adényliques et croissance bactérienne, 54.

Champredon (C.), Remond (B.) et Pion (R.). Influence d'une sous-alimentation énergétique et azotée sur l'acido-acidémie libre de vaches laitières en début de lactation, 60.

Chanussot (F.). Voir Touimi Benjelloun (A.).

Chapal (J.). Voir Loubatières-Mariani (M. M.).

Chararas (C.), Koutroumpas (A.) et Courtois (J. E.). Action des antibiotiques sur l'équipement en osidases de *Cossus cossus* L., Lépidoptère cossidae xylophage, 738.

Chardonnet (Y.). Voir Miachon (S.).

Chassagne (J.). Voir Chollet (P.).

Chauveau (M.). Voir Lemaire (R.).

Chénieux (J. C.), Rideau (M.) et Péron (A.). Etude de quelques substances naturelles ou synthétiques inhibant la croissance, à l'aide d'un test « disque de topinambour », 233.

Cheveau (L. G.). Voir Niaussat (M. M.).

Chiron (J. P.), Maupas (P.) et Denis (F.). Ultrastructure des bactériophages de *Listeria monocytogenes*, 488. Voir Denis (F.).

Chirossel (J. P.). Voir Faure (J.).

Chocholle (R.) et Saulnier (C.). Variations de la sonie d'un son bref (20 ms) en fonction de la durée d'établissement et de déclin à 1000 Hz, 303.

Chollet (P.), Chassagne (J.), Vuillaume (C.), Bidet (J. M.), Sauvezie (B.) et Plagne (R.). Modifications de la charge électrique des populations lymphocytaires sanguines après immunisation secondaire par l'anatoxine tétanique chez l'Homme, 791.

Cier (J. F.). Voir Miachon (S.).

Ciesielski (L.). Voir Simler (S.).

Clavert (A.), Clavert (J. M.) et Buck (P.). Réduction, par l'insuline, de l'action embryotoxique du glucose en injection intraovulaire, 1094.

Clavert (J. M.). Voir Clavert (A.).

Cluten (M. J.). Voir Mewissen (D. J.).

Combes (P. F.). Voir Boneu-Valmalette (A.).

Compagnie (M. J.). Voir Reville (P.).

Consiglio (E.). Voir Macchia (V.).

Conte-Devolx (B.). Voir Legros (J. J.), Millet (Y. A.).

Conte-Devolx (J.). Voir Papy (J. J.).

Cornillon (B.), Létoublon (R.) et Got (R.). Transfert de mannose dans les microsomes d'hépatocytes d'Anguille (*Anguilla anguilla*), 998.

Corriol (J.). Voir Millet (Y. A.), Papy (J. J.).

Corthay (J.). Voir Benaris (A.).

Courrière (P.), Paubel (J. P.) et Nivière (P.). Propriétés conformationnelles et activité pharmacologique de catécholamines adrénergiques, 979.

Courtois (J. E.). Voir Chararas (C.).

Crastes de Paulet (A.). Voir Sultan (C.).

Creach (O.). Voir Ivanoff (B.).

Crousillat (J.) et Ranieri (F.). Mise en évidence d'interactions splanchnosplanchniques au niveau médullaire, thalamique et cortical, 602.

Czyba (J. C.). Voir Guérin (J. F.).

## D

- Dagorne (D.). Voir Paulet (G.).
- Damas (J.). Sur l'action vasomotrice de la carragénine, chez le Rat, 253. Inhibition du pouvoir prostaglandino-libérateur de la bradykinine, chez le Rat, 685.
- Damas (J.), Mousty (J. C.) et Lecomte (J.). Modifications, par certains flavonoides, des effets hypotenseurs de l'acide arachidonique, 257.
- Damon (M.). Voir Flandre (O.).
- Dang-Tran (L.). Voir Berlan (M.).
- Darmanaden (R.). Voir Flandre (O.).
- Dauchel (J.). Voir Schang (J. C.).
- David (J. F.). Voir Boneu-Valmalette (A.).
- Debruche (M. L.). Voir Gilles (G.).
- Decat (G.). Voir Léonard (A.).
- Delaforge (M.), Janiaud (P.), Dorange (J. L.), Morizot (J. P.) et Padieu (P.). Activation métabolique d'un promutagène naturel, l'eugénol, par des cultures répliquatives de cellules épithéliales de foie de rat adulte, 100. Voir Dorange (J. L.), Levi (P.).
- Delcourt (A.). Voir Simeray (J.).
- Deloince (R.), Beaudry (Y.), Robert (D.), Barjon (P.), Le Pivert (P.) et Fontanges (R.). Effet d'un mélange de ribosomes bactériens et d'une fraction membranaire de *Klebsiella pneumoniae* sur le développement du cancer épithélial greffé chez le Rat, 818.
- Delost (P.). Voir El Hani (A.), Khaldoun (T.), Pajot (J.).
- Demoulin (A.), Brison (J.), Detournay (J. M.) et Franchimont (P.). Influence du pGlu-Tyr-Arg-Trp-NH<sub>2</sub> sur le taux sérique des gonadotrophines chez le Rat mâle, 473.
- Demoulin (A.), Hudson (B.), Legros (J. J.) et Franchimont (P.). Influence d'un extrait de glandes pinéales ovines sur la libération de prolactine *in vitro*, 1134. Voir Franchimont (P.).
- Denis (F.), Al Delaimi (K.) et Chiron (J. P.). Recherche et mise en évidence d'une lysine décarboxylase chez *Pseudomonas aeruginosa*, 484. Voir Chiron (J. P.).
- Deray (A.). La population germinale aux stades embryonnaires et juvéniles chez la cane hybride issue du croisement Pékin ♂ × Barbarie ♀. Comparaison avec les canes des espèces parentes, 334. Aspects ultrastructuraux des cellules de la granulosa du follicule ovarien de canes (cane Barbarie : *Cairina moschata* cane Pékin : *Anas platyrhynchos*), 922.
- Desbrosses (S.). Voir Lessard (Y.).
- Descomps (B.). Voir Sultan (C.).
- Desgres (J.). Voir Dubost (M.).
- Dessanges (J. F.). Voir Lemaire (R.).
- Detournay (J. M.). Voir Demoulin (A.), Franchimont (P.).
- Dewailly (P.). Voir Trupin (N.).
- Deysson (G.). Voir Farjaudon (N.), Lipszyc (J.).
- Digaud (A.). Voir Dupuis (Y.).
- Di Jeso (A.). Voir Laudani (U.).
- Di Jeso (F.). Voir Bartolucci (S.), Laudani (U.).
- Di Maio (D.). Voir Mazmanian (G.).
- Dirkx (J.). Voir Franchimont (P.).
- Dolisi (C.). Voir Gastaud (M.).
- Dorange (J. L.), Delaforge (M.), Janiaud (P.) et Padieu (P.). Pouvoir mutagène de métabolites de la voie époxyde-diol du safrol et d'analogues. Etude sur *Salmonella typhimurium*, 1041. Voir Delaforge (M.).
- Dormard (Y.). Voir Benakis (A.).
- Doumas (J.) et Maume (B. F.). Activation métabolique par le tissu surrénalien du Rat d'un cancérigène du foie : le safrol, 108.
- Dremier (C.). Voir Franchimont (P.).
- Dreyfuss (F.) et Burlet (A.). Localisation ultrastructurale des hormones neurohypophysaires et de leurs protéines vectrices par la technique immunoenzymatique du « triple pont », 914.
- Dubois (M. P.). Voir Girod (C.).

Dubost (M.), Begue (R. J.), Desgres (J.), Riffle (C.), Putelat (R.), Morinière (M.) et Padieu (P.). Etude d'une tumeur corticosurrénalienne virilisante. Analyse de stéroïdes urinaires par chromatographie gaz-liquide et en couplage avec la spectrométrie de masse, 67.

Dubuisson (L.). Ultrastructure de l'épithélium vaginal du rat soumis à différentes séquences hormonales, 345.

Ducouret (B.), Samperez (S.) et Jouan (P.). Localisation d'une activité 5 $\alpha$ -réductase dans les membranes nucléaires de l'hypophyse antérieure du rat mâle adulte, normal et castré, 639.

Duday (H.). Voir Georgesco (J. M.).

Dugas du Villars (J. A.). Voir Triantaphyllidis (H.).

Dupont (C.) et Wépierre (J.). Modification de la réactivité cardiovasculaire à l'égard de l'isoprénaline sous l'influence de l'anesthésique chez le Rat, 1003.

Dupuis (R.). Voir Roux (C.).

Dupuis (Y.), Digaud (A.) et Fontaine (N.). Etude des effets du sorbitol sur l'activité des phosphatases alcalines isolées des diverses régions de l'intestin grêle du Rat, 294.

Dureng (G.), Boero (C.), Baissat (J.) et Labrid (C.). Affinités comparées de quelques anti-sécrétoires de référence pour les récepteurs cholinergiques intestinaux du Rat et du Chien, 771. Voir Labrid (C.).

Duriez (M.). Voir Stupfel (M.).

## E

Elabed (A.). Voir Stupfel (M.).

El Hani (A.) et Delost (P.). Comparaison de la réponse corticosurrénalienne au stress chez le Cobaye, mâle et femelle, à la puberté, 45.

Enée (J.), Gomot (L.) et Bride (M.). Différenciation de la prostate chez l'Escargot *Helix aspersa* Müll., 728.

## F

Farjaudon (N.), Pareyre (C.) et Deysson (G.). Désorganisation partielle de la ségrégation anaphasique des chromosomes dans la cellule végétale : actions combinées de la griséofulvine, productrice d'anaphases pluripolaires, et de deux alcaloïdes de l'Ipéca, producteurs d'anaphases à pôles flottants, 34.

Farnarier (G.), Planche (D.) et Rohner (J. J.). Blocage des afférences nociceptives par stimulation périphérique percutanée chez le Chat, 1054. Voir Planche (D.).

Faugère (M. C.). Voir Papy (J. J.).

Faure (A.) et Calas (A.). Etude radioautographique de l'incorporation *in vitro* de noradrénaline tritiée dans des fibres catécholaminergiques cent.ales chez le Hérisson actif et en hibernation, 136. Voir Rateau (J. G.).

Faure (J.), Vincent (M.), Benabid (A. L.), Chirossel (J. P.), Levy (J. C.) et Yacoub (M.). Traitement par l'hydroxocobalamine de l'hypercyanémie et de l'hypercyanurie consécutives à la compression du nerf sciatique chez le Lapin, 1221.

Feldman (J.). Voir Bousquet (P.).

Fellmann (D.). Voir Bugnon (C.).

Fillastre (J. P.). Voir Morin (J. P.).

Fioramonti (J.) et Ruckebusch (M.). Motricité et absorption du glucose au niveau de l'intestin grêle chez le Mouton, 964.

Flandre (O.), Damon (M.), Darmanaden (R.), Castel (J.) et Orzalesi (H.). Propriétés analgésiques de dérivés de la benzylidène-2-benzofurannone-3, 146.

Foliguet (J. M.). Voir Maugras (M.).

Fontaine (N.). Voir Chambon (Y.), Dupuis (Y.), Moulinoux (J. P.).

Fontanges (R.). Voir Deloince (R.), Ivanoff (B.).

Fontenaille (C.). Voir Lucas-Héron (B.).

Forin (M. C.). Voir Baron (C.).



Foulhoux (P.), Voisin (D.) et Normier (G.). Influence de la tension de  $\text{CO}_2$  et de  $\text{O}_2$  sur le comportement des érythrocytes dans les filtres de porosité  $5 \mu$ , 27.

Franchimont (P.), Ghys (A.), Brison (J.), Haze-Hagelstein (M. T.), Detournay (J. M.), Dremier (C.), Scarso (A.), Demoulin (A.) et Dirkx (J.). Dosage *in vivo* de l'activité antisolmatotrophine de la somatostatine et de deux de ses analogues, 673. Voir Bourguignon (J. P.), Demoulin (A.), Gilles (G.), Heynen (G.), Legros (J. J.).

Frelin (C.). Voir Athias (P.).

Fricker (J. P.). Voir Sick (H.).

Fujiwara (K.), Machii (K.), Nakayama (M.), Tamura (T.) et Ueda (K.). Immunité thymus-dépendante contre la maladie de Tyzzer chez la Souris, 710.

Fujiwara (M.). Voir Matsumoto (M.).

## G

Gaertner (M.). Voir Bousquet (P.).

Gailliard (P.). Voir Guignier (F.). Gairard (A.). Voir Berthelot (A.). Garnier (L.) et Albano (J. P.). Premières données sur le réflexe splanchnico-laryngé chez le Chat, 1049.

Garron (J.). Voir Millet (Y. A.).

Gaspar (S.). Voir Heynen (G.).

Gaspard (U.). Voir Gilles (G.).

Gastaud (M.), Dolisi (C.), Camous (J. P.), Gibelli (A.), Ozon (C.) et Ardisson (J. L.). Propriétés cardio-vasculaires du S 2620 chez le Chien anesthésié au pentobarbital, 169.

Gaudemer (Y.). Voir Le Quoc (D.).

Gauthier-Rahman (S.). Voir Halpern (B.).

Gavaudan (P.), Marchand (C.), Poussel (H.) et Hermelin (B.). Etude en phase vapeur de l'action réversible des narcotiques et toxiques volatils par la méthode de l'inhibition de la photogénèse bactérienne, 188.

Geisert (J.). Voir Helwig (J. J.).

Gendre (P.). Voir Cambar (J.).

Gensburger (C.). Voir Simler (S.).

Georgesco (I. M.), Duday (H.) et Cadilhac (J.). Etude du réflexe d'Hoffmann du muscle soléaire au cours de l'évolution du choc spinal chez l'Homme, 142.

Gérard (H.) et Kohler (F.). Etude des modifications du sang périphérique de l'embryon de Poulet consécutives à la greffe de fragments de rate de poule. I. Les effets sur la masse sanguine, 417.

Ghys (A.). Voir Franchimont (P.).

Gibelli (A.). Voir Gastaud (M.).

Gilles (G.), Debruche (M. L.), Gaspard (U.) et Franchimont (P.). Dosage de l'alpha foeto-protéine dans le sérum maternel au cours de grossesses normales et pathologiques, 696.

Ginet (J.). Voir Lucas-Héron (B.).

Girard (C.), Miane (J. M.), Riou (J.) et Baret (R.). Sur les désaminases hépatiques et rénales du Porc, 836.

Girard (J.) et Monin (J.). Analyse préliminaire de la perte de viabilité d'akènes de *Lactuca sativa* L. présentant des degrés de dormance différents, 76.

Girod (C.) et Dubois (M. P.). Mise en évidence, par immunofluorescence, des cellules corticotropes et des cellules mélanotropes de l'adénohypophyse chez les Singes *Erythrocebus patas*, *Cercopithecus aethiops* et *Papio hamadryas*, 367.

Giry (J.). Voir Khaldoun (T.).

Gobert (J. G.), Bertrand (J. Y.), Adelet-Suarez (B.) et Savel (J.). A propos de quelques anomalies anatomiques de l'appareil génital chez la Sangsue, *Hirudo medicinalis* L., 534.

Gobert (J. G.), Le Bras (J.) et Savel (J.). Endoparasitisme expérimental de *Trypanosoma brucei* chez *Blabera fusca* : survie du parasite et toxicité de l'hémoglobine, 1008.

Goffart (M.). Hypométabolisme chez *Aotus trivirgatus* (Primates, Platyrrhini, Cebidae), 1149.

Gomot (L.). Voir Enée (J.), Marchand (C. R.), Stocker (S.).

Got (R.). Voir Cornillon (B.).

Goudonnet (H.). Voir Grimal (P. de).

Goutte-Coussieu (C.). Voir Adessi (G.).

Grandgirard (A.). Composition en acides gras des lipides des testicules et des surrénales de rats soumis à des régimes alimentaires contenant de l'huile de lin fraîche ou thermopolymérisée, 1019.

Grenier (J. F.). Voir Schang (J. C.).

Grimal (P. de), Goudonnet (H.) et Truchot (R.). Effets de l'acide méthyl-2 [(chloro-4' benzoyl)-4 phénoxy]-2 propionique (LF. 153) sur l'activité respiratoire de mitochondries hépatiques isolées de Rat, 93.

Grizard (J.), Tissier (M.), Prugnaud (J.) et Pion (R.). Influence d'une restriction énergétique pendant la fin de la gestation sur l'insulinémie, la glycémie, l'urémie et l'aminocidémie des brebis gestantes et allaitantes, 1245.

Guérin (J. F.) et Czyba (J. C.). Influence de la fourniture exogène d'ADP et d'ATP sur la motilité et l'activité respiratoire des spermatozoïdes humains, 370. Effets de la pression osmotique sur la motilité et le métabolisme des spermatozoïdes humains, 822.

Guichard (C.). Voir Triantaphylidis (H.).

Guignier (F.), Touzery (C.), Pelletier (J. L.) et Gailliard (P.). Dosage radioimmunologique de la thyrotropin releasing hormone, 1226.

Guiheneuc (P.). Voir Vecchierini-Blineau (M. F.).

Guillaumin (J. M.). Voir Renoux (G.).

Guillot (A.). Effets sociaux sur le comportement de souris mâles et femelles en champs libres, 543.

Guimard (J.). Etude de l'action du condensat de fumée de cigarette sur le début de la morphogenèse du poumon de Poulet cultivé *in vitro*, 553.

## H

Hagelsteen (C.). Voir Orsetti (A.).

Halpern (B.), Gauthier-Rahman (S.) et Besluau (D.). Effet du *Corynebacterium parvum* sur la réponse immunitaire du Cobaye. I. Modali-

lités d'amplification de la réponse anamnétique et développement de l'hypersensibilité retardée liés au traitement par le *Corynebacterium parvum*, 1202 ; II. Transfert passif de la réponse anamnétique amplifiée et de l'hypersensibilité retardée obtenue après traitement par le *Corynebacterium parvum*, 1209.

Hannouche (N.), Samperez (S.) et Jouan (P.). Sur l'absence de 5 $\alpha$ -réductase dans les membranes plasmiques de l'hypothalamus du Rat mâle, 1254.

Haren (J.). Voir Mewissen (D. J.).

Hartemann (P.). Voir Maugras (M.).

Hassani (M.). Voir Roos (J.).

Haze-Hagelstein (M. T.). Voir Franchimont (P.).

Helwig (J. J.), Sarlieve (L. L.), Lutz (J. D.), Mandel (P.), Bollack (C.) et Geisert (J.). Syndrome néphrotique expérimental chez le Rat. Paramètres biologiques et études de quelques hydrolases dans diverses fractions purifiées du rein, 946.

Hendrick (J. C.). Voir Balthazard (J.).

Hermelin (B.). Voir Gavaudan (P.).

Heynen (G.), Luisetto (G.), Cecchetti (M.), Kanis (J. A.), Brassine (A.), Gaspar (S.) et Franchimont (P.). La calcitonine sérique dans la cirrhose éthylique, 690.

Hildwein (G.). Voir Kayser (C.).

Horvath (H.). Voir Roux (C.).

Hudson (B.). Voir Demoulin (A.).

## I

Ivanoff (B.), Laval (F.), Creach (O.) et Fontanges (R.). Evolution des immunoglobulines intestinales et sériques de la Souris après vaccination par voie orale, 380.

## J

Jadot (G.). Voir Bruguerolle (B.).

Janiaud (P.). Voir Delaforge (M.),

Dorange (J. L.), Levi (P.).

Jayle (M. F.). Voir Adessi (G.).

Jean (R.). Voir Sultan (C.).

Jeanningros (R.) et Mei (N.). Projections viscérales, vagales et splanchniques, dans la région du noyau ventro-médian de l'hypothalamus chez le Chat, 831.

Jego (P.). Effet différencié de l'estradiol sur les activités de deux thymidine kinases présentes dans l'oviducte du Triton Pleurodèle. I. Mesure des Km apparents et étude de la thermostabilité, 205.

Joanny (P.). Voir Millet (Y. A.).

Jouan (P.). Voir Ducouret (B.), Hannouche (N.).

Jousset-Stevenet (B.). Voir Lebretton de Vonne (T.), Versavel (C.).

Juchmes (J.), Cession-Fossion (A.) et Bourdon (V.). Clairance urinaire de la dl-isopropylnoradrénaline chez le Chien, 1145.

Juchmes (J.), Van Liefveringe (N.) et Lecomte (J.). Influence de l'immersion horizontale sur l'élimination urinaire des catécholamines, 1309. Voir Scheen (A.).

## K

Kanis (J. A.). Voir Heynen (G.).  
Katanic (D.). Voir Stojanovic (N.).

Kayser (C.) et Hildwein (G.). Monoamines cérébrales et rythme circadien de l'activité motrice spontanée du Rat, 450.

Khaldoun (T.), Giry (J.) et Delost (P.). Concentration plasmatique et taux de clairance métabolique de l'aldostérone chez le Cobaye au sevrage, à la puberté et à l'âge adulte, 784.

Klepping (J.). Voir Athias (P.).

Koehl (C.). Voir Simler (S.).

Kohler (F.). Voir Gerard (H.).

Koutroumpas (A.). Voir Chararas (C.).

## L

Labeyrie (S.) et Neuzil (E.). Influence des ions zinc et cobalt sur la chromogénèse de *Pseudomonas aeruginosa* en présence d'acide méthylphosphonique, 755.

Labrid (C.), Dureng (G.) et Bert (H.). Additivité stricte des effets antispasmodiques de la papavérine et du tiémonium : un exemple de blocage séquentiel, 764. Voir Dureng (G.), Leinot (M.).

Lacharme (J.), Seigle-Murandi (F.) et Steiman (R.). Métabolisme du nucléoside Y chez une souche mutante auxotrophe à la guanine (gua 2 su') de *Saccharomyces cerevisiae*, 814. Voir Seigle-Murandi (F.).

Lachaud (S.). Influence de l'éclairement et de la photopériode sur le vieillissement du Soja Biloxi, 180.

Lacroix (P.), Linée (P.) et Le Pollès (J. B.). Activité comparée de l'éthavérine et de la papavérine sur la période réfractaire effective de l'oreillette isolée de Cobaye, 214. Etude des effets de l'éthavérine et de la papavérine sur les dysrythmies post-ischémiques chez le chien éveillé, 1075. Voir Linée (P.), Pape (D.), Van den Driessche (J.).

Lagneau (A.), Martin (M.), Martin (F.) et Michel (M. F.). Effet cytotoxique des macrophages péritonéaux sur un carcinome intestinal de Rat. Mise au point d'un nouveau test de cytotoxicité, 90.

Laharpe (F. de). Voir Reville (P.), Stephan (F.).

Lamy (J.), Lamy (J.) et Weill (J.). Structure de l'hémocyanine de Scorpion : hétérogénéité des sous-unités, 241.

Lancho-Alonso (J.). Voir Bassleer (R.).

Lancieri (M.). Voir Bartolucci (S.).

Lang (J. M.) et Mayer (S.). Rosettes humaines autologues et allogéniques, 456.

Lanot (R.). Etude expérimentale de la formation précoce des parois endothéliales chez l'embryon d'Oiseau, 896. Voir Stephan (F.).

Lanot (R.) et Stephan (F.). La formation des cordons vasculaires chez l'embryon de Poulet ; observations au microscope électronique à balayage, 421.

La Posta (A.). Voir Monaco (F.).

Lasbennes (A.), Belleville (F.), Paysant (P.) et Nabet (P.). Rôle du glucose dans la régulation de la sécrétion de l'hormone lactogène placentaire (hPL), 425.

Laudani (U.), Di Jeso (A.) et Di Jeso (F.). Les phosphagènes de quelques protozoaires, « indicateurs écologiques », 530.

Laurent (P.). Voir Ristori (M. T.).

Laury (M. C.) et Marco (F. de). Influence des conditions de l'acclimatation au froid du Rat sur la thermogenèse sans frisson, 1182.

Laval (F.). Voir Ivanoff (B.).

Le Bras (J.). Voir Gobert (J. G.).  
Lebreton de Vonne (T.), Versavel (C.), Jousset-Stephenet (B.) et Mouray (H.). Isolement d'alpha-1-macroglobuline ( $\alpha$  1 M) et d'alpha-2-macroglobuline ( $\alpha$  2 M) de Lapin à partir du plasma, 976. Voir Versavel (C.).

Le Calvé (M.). Voir Chambon (Y.).

Lecomte (J.). Voir Cession-Fosson (A.), Damas (J.), Juchmes (J.).

Lefevre (A.). Voir Nouët (J. C.).

Legrand-Hamelin (E.). Obtention de néo-mâles fonctionnels et démonstration expérimentale de l'hétérogamétie femelle chez *Idotea balthica* (Crustacé Isopode), 176.

Légros (J. J.), Conte-Devoux (B.), Rougon-Rapuzzi (G.), Millet (Y.) et Franchimont (P.). Libération simultanée de vasopressine (A.D.H.) et de neurophysines lors de la perfusion de nicotine chez l'Homme, 478. Voir Demoulin (A.).

Leinartz-Dourcy (C.). Voir Bourguignon (J. P.).

Leinot (M.), Basiez (M.), Roche (F.) et Labrid (C.). Auto-injections morphiniques substituées au conditionnement alimentaire : étude chez le Rat d'une variante méthodologique, 796.

Le Lannou (D.) et Chambon (Y.). Effets de la ligation des canaux éférents ou de l'épididyme sur la fonction testiculaire et la sécrétion des gonadotrophines chez le Rat, 197. Présence dans l'épididyme d'un facteur abaissant fortement le taux sanguin de FSH chez le Rat, 636. Présence dans l'épididyme d'un

facteur inhibant la synthèse hypothalamique de FSH-RH chez le Rat, 1064.

Lemaire (R.), Dessanges (J. F.), Leroy (M.) et Chauveau (M.). Influence des catécholamines sur l'écoulement du sang dans les artères de distribution, 560. Influence de la chaleur localisée sur l'écoulement du sang dans les artères de distribution, 564.

Lenys (D.). Voir Bugnon (C.).

Léonard (A.), Decat (G.) et Maisin (J. R.). Etude, au moyen de la technique du Giemsa modifiée, des caractéristiques chromosomiques des souris C57Bl leucémiques, 682.

Léonard (A.) et Willocx (M.). Relation entre l'âge du mâle et le taux de mortalité prénatale spontanée ou radioinduite observé chez la Souris, 679.

Le Pivert (P.). Voir Deloince (R.).

Le Pollès (J. B.). Voir Linée (P.), Pape (D.), Van den Driessche (J.).

Le Quoc (D.), Le Quoc (K.) et Gaudemer (Y.). Mise en évidence des variations d'accessibilité ou de réactivité des groupes SH mitochondriaux suivant l'état énergétique des mitochondries, 935.

Le Quoc (K.). Voir Le Quoc (D.).

Leroy (M.). Voir Lemaire (R.).

Lessard (Y.), Desbrousses (S.) et Paulet (G.). Arythmie cardiaque sous l'action de l'adrénaline et du difluorodichlorométhane (FC<sub>m</sub>) : chez le Lapin, 883 ; chez le Chien, 1270. Voir Paulet (G.).

Létoublon (R.). Voir Cornillon (B.).

Levi (P.), Janiaud (P.), Delaforge (M.), Morizot (J. P.), Maume (B. F.) et Padieu (P.). Présence de métabolites glucuroconjugués du safron dans l'urine de rats traités, 1034.

Lévy (J. C.). Voir Benaris (A.), Faure (J.).

Lignon (F.). Voir Loubatières (A.), Ribes (G.).

Linée (P.), Le Pollès (J. B.), Lacroix (P.), Pape (D.), Quiniou (P.) et Van den Driessche (J.). Effets d'un adrénolytique bêta et d'un diurétique vis-à-vis de l'hyperréni-

némie provoquée par l'isoprénaline chez le chien anesthésié. Intérêt de l'interaction bêta-bloquant-diurétique, 218. Voir Lacroix (P.), Pape (D.), Van den Driessche (J.).

Lipszyc (J.) et Deysson (G.). Sur l'emploi de macromolécules comme adjuvants pour l'étude, à l'aide du test *Allium*, de la cytotoxicité de composés insolubles, 1173.

Loubatières (A.), Loubatières-Mariani (M. M.), Alric (R.), Blayac (J. P.) et Valette (G.). Effets de la thiamine pyrophosphate et du dichloroacétate de sodium sur l'augmentation des débits de lactate et d'insuline provoquée par la phenformine sur le pancréas isolé et perfusé du Rat, 155.

Loubatières (A.), Ribes (G.), Valette (G.), Lignon (F.) et Rondot (A. M.). Actions du dichloroacétate de sodium associé à l'insuline sur l'hyperlactatémie et l'hyperpyruvicémie provoquées chez le Chien par la phenformine, 150. Voir Loubatières-Mariani (M. M.).

Loubatières-Mariani (M. M.), Chapal (J.) et Loubatières (A. L.). Influence de la température sur la sécrétion d'insuline provoquée par différentes concentrations de glucose, 161.

Loubatières-Mariani (M. M.), Chapal (J.), Puech (R.) et Loubatières (A.). Influence de la température sur les sécrétions d'insuline et de glucagon provoquées par la stimulation des récepteurs cholinergiques en présence de glucose, 165.

Loubatières-Mariani (M. M.), Chapal (J.) et Valette (G.). Adénosine triphosphate (ATP) et insulino-sécrétion : effet de différentes concentrations et influence de la température, 864. Voir Loubatières (A.), Ribes (G.).

Louf (B.). Voir Trupin (N.).

Lucas-Héron (B.), Fontenaille (C.) et Ginet (J.). Transport de l'acide urique par la membrane de l'hématie humaine : rôle du métabolisme intraérythrocytaire, 649.

Luisetto (G.). Voir Heynen (G.).

Lutz (J. D.). Voir Helwig (J. J.).

Lutz-Ostertag (Y.). Effets de l'action combinée du propionate de testostérone et d'un abaissement temporaire de la température sur la destinée des canaux de Müller de l'embryon femelle d'Oiseau. Etudes morphologiques, histologiques et cytochimiques, 778.

Luyckx (A.). Voir Scheen (A.).

## M

Mabin (D.). Voir Barthelemy (L.).

Macchia (V.), Consiglio (E.) et Varrone (S.). Activité guanylate cyclase dans le facteur d'élongation EF-Ts d'*Escherichia coli*, 516.

Machii (K.). Voir Fujiwara (K.).

Magron (J.). Voir Vincent (D.).

Maisin (J. R.). Voir Léonard (A.).

Makambila (C.). Corrélations de croissance et morphogénèse du thalle des *Resellinia*, 50.

Mandel (P.). Voir Helwig (J. J.), Simler (S.).

Maraud (R.). Voir Mauget (R.), Rashedi (M.), Stoll (R.).

Marchand (C.). Voir Gavaudan (P.).

Marchand (C. R.), Gomot (L.) et Revier (M. de). Etude, par autoradiographie et marquage à la thymidine tritiée : de la durée de la spermatogénèse du Canard de Barbarie (*Cairina moschata* L.), 927 ; de la gamétogénèse abortive du Canard mâle hybride du croisement mâle Pékin × femelle Barbarie, 931.

Marco (F. de). Voir Laury (M. C.).

Marescaux (J.). Voir Schang (J. C.).

Marois (G.). Voir Marois (M.).

Marois (M.) et Marois (G.). Action d'un anti-estrogène, le tamoxifène : sur l'utérus et le vagin de la ratte ovariectomisée, 280 ; sur les mamelles de la ratte ovariectomisée, 287.

Martin (B. J.) et Ceccaldi (H. J.). Variations circadiennes de la teneur en acides gras libres du muscle abdominal de *Palaemon serratus* (Pennant 1777) Crustacé Décapode, 608.

- Martin (F.). Voir Lagneau (A.).  
 Martin (M.). Voir Lagneau (A.).  
 Massé (H.). Voir Stupfel (M.).  
 Matsumoto (M.), Fujiwara (M.), Mori (A.) et Robin (Y.). Effet des dérivés guanidiques sur la cholinacétylase et sur l'acétylcholinestérase du cerveau de Lapin, 1226.  
 Mauget (R.), Castet (M. C.), Maraud (R.) et Canivenc (R.). Etude dynamique et caryotypique d'une population de sangliers à robe claire, 592.  
 Maugras (M.), Block (J. C.), Hartemann (P.) et Foliguet (J. M.). Utilisation de la mesure du taux de cytochrome P 450 hépatique comme test de toxicité de l'eau, 441.  
 Maume (B. F.). Voir Doumas (J.), Levi (P.).  
 Maupas (P.). Voir Chiron (J. P.).  
 Maurin (J.), Bouillé (C.) et Baylé (J. D.). Nucleus raphe et activité corticotrope chez le Pigeon, 850.  
 Mayer (S.). Voir Lang (J. M.).  
 Mazmanian (G.) et Di Maio (D.). Modifications du collagène après brûlure cutanée profonde chez le Rat, 319.  
 Medilanski (P.). Voir Benaris (A.).  
 Mei (N.). Voir Jeanningros (R.).  
 Meiniel (R.). Voir Autissier-Navarro (C.).  
 Mejean (L.). Voir Touimi Benjeloun (A.).  
 Mélone (J.) et Aubert (M.). Mise en évidence d'interactions entre des afférences visuelles et splanchniques au niveau du cortex cérébral chez le Chat, 406. Activation réticulaire par des afférences splanchniques : influence sur les projections visuelles au niveau du cortex cérébral du Chat, 1188.  
 Mesdjian (E.). Voir Bruguerolle (B.).  
 Mesnier (F.). Voir Cambar (J.).  
 Mestre (J. C.). Voir Simeray (J.).  
 Mewissen (D. J.), Rust (J. H.), Haren (J.) et Cluten (M. J.). Epidémiologie de la Souris C 57 Black/6M : données actuarielles d'une population témoin, 1140.  
 Meyer (E.). Voir Behr (P.), Rodriguez-Bravo (S.).  
 Miachon (S.), Biol (M. C.), Cier (J. F.) et Chardonnet (Y.). Culture de cellules isolées du muscle lisse de duodénum de Rat, 804.  
 Miane (J. M.). Voir Girard (C.).  
 Michel (M. F.). Voir Lagneau (A.).  
 Miegerville (M.), Morin (O.) et Vermeil (C.). Contribution à l'étude autohistoradiographique des échanges qui peuvent s'établir entre cellules sarcomateuses murines (BP 8) et levures (*Saccharomyces cerevisiae*), formes entières et protoplastes), 879.  
 Millet (B.). Observation, en microscopie électronique à balayage, de la surface du filet staminal de quelques espèces de Berbéracées. Comparaison avec d'autres organes sensibles, 580.  
 Millet (Y. A.), Garron (J.), Conte Devolx (B.), Joanny (P.) et Corriol (J.). Evaluation sur l'électrocorticogramme du Rat de l'action protectrice du piridoxilate contre l'hypoxie cérébrale, 398. Voir Legros (J. J.).  
 Moalic (J. M.). Voir Athias (P.).  
 Monaco (F.), Andreoli (M.), La Posta (A.), Cataudella (S.) et Roche (J.). Sur la biosynthèse de thyroglobuline dans l'endostyle des larves (amphocoetes) d'une Lamproie d'eau douce, *Lampetra planeri* Bl., 308.  
 Miss-Pages (C.). Voir Berthelot (A.).  
 Mongongu (S.). Voir Stupfel (M.).  
 Monin (J.). Voir Beranger-Novat (N.), Girard (J.).  
 Moniz de Bettencourt (J.), Silva Carvalho (J.), Pinto (B. G.) et Bravo Pimentao (J.). Action de la phentolamine et de la dibéamine sur les réflexes carotidiens déclenchés par la lobéline, 329.  
 Mori (A.). Voir Matsumoto (M.).  
 Morin (J. P.), Fillastre (J. P.) et Vaillant (R.). Effets des aminoglycosides et des céphalosporines sur les lysosomes de rein de Rat *in vitro*, 1088.  
 Morin (O.). Voir Miegerville (M.).  
 Morinière (M.). Voir Dubost (M.).  
 Morizot (J. P.). Voir Delaforge (M.), Levi (P.).



Mottaz (P.) et Worbe (J. F.). Transfert des acides gras volatils dans la paroi du cæcum isolé de Rat, 375.

Moulinoux (J. P.), Fontaine (N.) et Chambon (Y.). Action du sulfate d'aminoguanidine sur les taux hépatique et sanguin de l'histamine après hépatectomie partielle chez le Rat, 1288. Voir Chambon (Y.).

Mouray (H.). Voir Lebreton de Vonne (T.), Versavel (C.).

Mousty (J. C.). Voir Damas (J.).

Murat (J. C.) et Plisetskaya (E. M.). Effets du glucagon sur la glycémie, le glycogène et la glycogène-synthétase hépatique chez la Carpe et la Lamproie, 1302. Voir Paris (H.).

## N

Nabet (P.). Voir Lasbennes (A.), Vescovi (G.).

Nakayama (M.). Voir Fujiwara (K.).

Néhémie (C.). Voir Renoux (M.).

Neuzil (E.). Voir Labeyrie (S.).

Nguyen (M.). Voir Trupin (N.).

Niaussat (M. M.), Chevance (L. G.) et Adrian (M.). Audiométrie et état cytotologique des cellules ciliées externes de quatre lignées de Souris, 991.

Nicolas (G.). Recherche du rôle de l'hormone juvénile dans la réalisation de l'homochromie chez le Criquet migrateur, *Locusta migratoria* L. Utilisation d'une hormone juvénile synthétique, 503.

Nicot (G.) et Valette (J. P.). Mise en évidence de l'action de la L-phénylalanine sur l'activité arylestérasiqne par des inhibiteurs des estérases, 626.

Nicot (J.). Voir Seigle-Murandi (F.).

Nivière (P.). Voir Courrière (P.).

Normier (G.). Voir Foulhoux (P.).

Notter (A.). Voir Vincent (D.).

Nouët (J. C.) et Lefevre (A.). Arguments numériques en faveur de l'existence de clones cellulaires dans l'adénohypophyse, 733.

## O

Oberling (F.). Voir Sick (H.).

Orsetti (A.), Hagelsteen (C.) et Zouari (N.). Normalisation glycémique temporaire, chez le chien totalement dépancréaté, après mise en place d'un distributeur bioartificiel d'insuline, 858.

Orzalesi (H.). Voir Flandre (O.).

Ozon (C.). Voir Gastaud (M.).

## P

Padiou (P.). Voir Athias (P.), De-laforge (M.), Dorange (J. L.), Dubost (M.), Levi (P.).

Paermentier (F. de). Voir Bass-leer (R.).

Pajot (J.) et Delost (P.). Teneurs plasmatiques et testiculaires en androgènes au cours du nyctémère chez le Cobaye à la puberté, 1240.

Pape (D.), Lacroix (P.), Linée (P.), Le Pollès (J. B.) et Van den Driessche (J.). Action de trois adrénolytiques bêta sur l'activité rénine plasmatique mesurée par radio immunologie chez le rat génétiquement hypertendu, 224. Voir Linée (P.).

Papy (J. J.), Conte-Devolx (J.), Pelissier (J. F.), Faugère (M. C.) et Corriol (J.). Etude expérimentale de la conduction nerveuse et neuromusculaire au cours de la plongée fictive chez le Chien et le Lapin : corrélations anatomo-pathologiques, 121.

Pareyre (C.). Voir Farjaudon (N.).

Paris (H.), Murat (J. C.) et Castilla (C.). Etude des acides gras volatils dans l'intestin de trois espèces de Poissons Téléostéens, 1297.

Paubel (J. P.). Voir Courrière (P.).

Paulet (G.), Dagorne (D.), Thomas (S.), Roncin (G.) et Lessard (Y.). Evolution des réserves de glycogène hépatique chez des rats soumis à une intoxication alcoolique chronique, 228. Voir Lessard (Y.).

Paysant (P.). Voir Lasbennes (A.), Vescovi (G.).

Pelissier (J. F.). Voir Papy (J. J.).  
Pelletier (J. L.). Voir Guignier (F.).

Peringer (P.). Influence de la tension de l'oxygène dissous sur le métabolisme énergétique des levures, 1029.

Péron (A.). Voir Chénieux (J. C.).

Peyraud (C.). Voir Barthelemy (L.).

Picard (F.). Voir Chambon (Y.).

Pinto (B. G.). Voir Moniz de Betencourt (J.).

Pion (R.). Voir Champredon (C.), Grizard (J.).

Piquet (Y.). Voir Cambar (J.).

Plagne (R.). Voir Chollet (P.).

Planche (D.), Farnarier (G.) et Rohner (J. J.). Effets de la nalorphine sur les analgésies induites par stimulations périphériques, 1059. Voir Farnarier (G.).

Plas-Roser (S.). Voir Roos (J.).

Plisetskaya (E. M.). Voir Murat (J. C.).

Poussel (H.). Voir Gavaudan (P.).

Prugnaud (J.). Voir Grizard (J.).

Puech (R.). Voir Loubatières-Mariani (M. M.).

Putelat (R.). Voir Dubost (M.).

## Q

Quiniou (P.). Voir Linée (P.).

## R

Randrianarisoa (H.). Voir Simler (S.).

Ranieri (F.). Voir Crousillat (J.).

Rapaport (A.). L'action du pentobarbital sur l'individualité biothermique du Rat en croissance et en conditionnement instrumental à la chaleur, 548.

Rashedi (M.), Stoll (R.) et Ma-raud (R.). Action d'un greffon ovarien sur l'ovaire de l'embryon femelle de Poulet, 585. Voir Stoll (R.).

Rateau (J. G.) et Faure (A.). Libération, *in vitro*, de facteurs lymphocytaires inhibant la migration des leucocytes humains, induite par les chlorures d'or, de cadmium et de mercure, 1176.

Ravanel (P.). Voir Seigle-Murandi (F.).

Reichhart (J. M.) et Thiebold (J. J.). Nouvelles données sur la croissance asymétrique du tractus mullérien chez l'embryon de Poulet femelle, 1097.

Remond (B.). Voir Champredon (C.).

Renoux (G.), Renoux (M.) et Guillaumin (J. M.). Le diéthylthiocarbamate de sodium est un stimulant de l'immunité, 313. Voir Renoux (M.).

Renoux (M.), Renoux (G.) et Néhémie (C.). Les fractions pariétales des *Brucella* sont des mitogènes spécifiques. Implications dans la genèse de la réponse immune primaire, 248. Voir Renoux (G.).

Reviere (M. de). Voir Marchand (C. R.).

Reville (P.), Stephan (F.), Laharpe (F. de) et Compagnie (M. J.). Stimulation de l'hypertrophie rénale compensatrice par la  $\beta$  1-24 corticotrophine chez le Rat, 1122. Voir Stephan (F.).

Ribes (G.), Valette (G.), Lignon (F.) et Loubatières-Mariani (M. M.). Absence de concordance entre les effets sur l'insulino-sécrétion et la glycémie de la phenformine à fortes doses. Tentative d'analyse, 870. Voir Loubatières (A.).

Rideau (M.). Voir Chénieux (J. C.).

Rifle (C.). Voir Dubost (M.).

Riou (J.). Voir Girard (C.).

Ristori (M. T.) et Laurent (P.). Action de l'hypoxie sur le système vasculaire branchial de la tête perfusée de Truite, 809.

Robert (D.). Voir Deloince (R.).

Robin (Y.). Voir Matsumoto (M.).

Roche (F.). Voir Leinot (M.).

Roche (J.). Notices nécrologiques : Eliane Le Breton, 13 ; Jean Trémolières, 14 ; Jacques Tréfouël, 989 ; André Strohl, 1161. Voir Monaco (F.).

Rodriguez-Bravo (S.), Meyer (E.) et Wurtz (B.). Induction de la catalase dans les suspensions non-proliférantes de *Pseudomonas fluorescens* (type R). I. Influence de la nature du tampon, 1111.



Rohner (J. J.). Voir Farnarier (G.), Planche (D.).

Roncin (G.). Voir Paulet (G.).

Rondot (A. M.). Voir Loubatières (A.).

Roos (J.), Plas-Roser (S.), Hassani (M.) et Aron (C.). Données nouvelles sur les mécanismes de l'action lutéotrope des estrogènes au cours du cycle estral de la ratte, 446.

Rougou-Rapuzzi (G.). Voir Legros (J. J.).

Roux (C.), Horvath (H.), Dupuis (R.) et Aubry (M. M.). Action tératogène d'un inhibiteur de la synthèse du cholestérol chez les rats Wistar et Sprague-Dawley, 15.

Ruckebusch (M.). Voir Fioramonti (J.).

Rust (J. H.). Voir Mewissen (D. J.).

## S

Samardzic (R.). Voir Beleslin (D.), Stojanovic (N.).

Samperez (S.). Voir Ducouret (B.), Hannouche (N.).

Sarlieve (L. L.). Voir Helwig (J. J.).

Saulnier (C.). Voir Chocholle (R.).

Sauvel (J.). Voir Cambar (J.).

Sauvezie (B.). Voir Chollet (P.).

Sava (P.). Voir Schang (J. C.).

Savel (J.). Voir Gobert (J. G.).

Scarso (A.). Voir Franchimont (P.).

Schaaf-Lafontaine (N.). Réactivation antigénique *in vitro* de la cytotoxicité de cellules lymphoïdes de souris porteuses de tumeurs syngéniques, 663.

Schaeffer-Sacré (J.). Evolution du contenu azoté de tissus de tubercules de Topinambour ayant subi une irradiation gamma, 1195.

Schang (J. C.), Dauchel (J.), Sava (P.), Marescaux (J.) et Grenier (J. F.). Etude de la motricité intestinale. Apport de l'électromyographie, 1107.

Scheen (A.), Luyckx (A.), Juchmes (J.) et Cession-Fossion (A.). Blocage des récepteurs  $\beta$ -adrénergiques cardiaques et métaboliques par le pindolol, chez l'Homme, 666.

Schowing (J.), Sprumont (P.) et Van Toledo (B.). Influence du L-5-hydroxytryptophane (L-5-HTP) sur le développement de l'embryon de Poulet, 1163.

Seigle-Murandi (F.), Nicot (J.), Ravanel (P.) et Lacharme (J.). Association cryptogamique prélevée sur des débris ligneux dans une grotte de Chartreuse, 386. Voir Lacharme (J.).

Servin (A.). Mise en évidence du cycle entéro-hépatique de la S-carboxyméthyl-cystéine, 39.

Sicks (H.), Oberling (F.), Fricker (J. P.) et Cazenave (J. P.). Etude comparative de la régénération de la microvascularisation de la moelle osseuse du fémur de Lapin après curetage et lors de la myélosclérose expérimentale, 951.

Silva Carvalho (J.). Voir Moniz de Bettencourt (J.).

Simeray (J.), Delcourt (A.) et Mestre (J. C.). Influence de trois dérivés mercuriels sur la croissance d'*Euglena gracilis* Z., 901.

Simler (S.), Gensburger (C.), Ciesielski (L.) et Mandel (P.). Effet de la différenciation sur la teneur en GABA dans diverses cultures de cellules, 1116.

Simler (S.), Randrianarisona (H.), Koehl (C.), Ciesielski (L.) et Mandel (P.). Pool des acides aminés libres du cerveau de souris de lignées consanguines présentant des différences d'aptitude à l'apprentissage, 942.

Singh (C. P.). Voir Beranger-Novat (N.).

Soulier (P.). Voir Barthelemy (L.).

Sprumont (P.). Voir Schowing (J.).

Staiesse (M.). Voir Cession-Fossion (A.).

Steiman (R.). Voir Lacharme (J.).

Stephan (F.), Artis (J. P.) et Lanot (R.). Régénération de la dent chez le Cobaye (*Cavia porcellus*), 876.

Stephan (F.), Reville (P.) et La-harpe (F. de). Inhibition de l'hyper-trophie rénale compensatrice par l'hypothyroïdie chez le Rat. Mesure du diamètre moyen des glomérules et des tubes proximaux, 459. Voir Lanot (R.), Reville (P.).

Stocker (S.), Bride (M.) et Gomot (L.). Effets de l' $\alpha$ -amanitine sur le développement du cœur de Kénope (*Xenopus laevis* Daud.) *in vitro*, 568.

Stojanovic (N.), Katanic (D.), Samardzic (R.) et Beleslin (D.). Distribution, captation et hydrolyse de (-1- $^{14}$ C) oléate de cholestéryle dans le tissu cérébral après injection dans les ventricules cérébraux du chat conscient, 525.

Stoll (R.), Rashedi (M.) et Ma-raud (R.). Action de l'AMPc sur la régression des canaux de Müller de l'embryon de Poulet, 589. Voir Rashedi (M.).

Streblor (G.). Dynamique de l'activité glycosidique chez *Schisto-cerca gregaria* Forsk, 742.

Stupfel (M.), Mongongu (S.), Elabed (A.), Massé (H.) et Duriez (M.). Période du cycle sexuel et résistance de la Souris à l'hypoxie aiguë expérimentale, 1230.

Sultan (C.), Bonardet (A.), Bon-nal (B.), Descomps (B.), Caderas de Kerleau (J.), Bonnet (H.), Jean (R.) et Crastes de Paulet (A.). Evolution de la prolactine plasmatique chez l'enfant normal, de la naissance à l'adolescence, 131.

## T

Takeuchi (H.). Voir Watanabe (K.).

Tamura (T.). Voir Fujiwara (K.).  
Thiebold (J. J.). Voir Reichhart (J. M.).

Thomas (S.). Voir Barthelemy (L.), Paulet (G.).

Tissier (M.). Voir Grizard (J.).

Touimi Benjelloun (A.), Bonaly (R.), Chanussot (F.) et Mejean (L.). Caractérisation d'une activité lipa-sique chez une levure du genre *Rho-dotorula* (*Rh. rubra*), 613.

Touzery (C.). Voir Guignier (F.).

Tran Quang Nhuan. Voir Adessi (G.).

Trellu (J.) et Ceccaldi (H. J.). Variations des activités enzymati-ques de l'hépatopancréas et du mus-cle de *Palaemon serratus* Pennant (Crustacé Décapode) au cours du cycle d'intermue, 115.

Triantaphyllidis (H.), Dugas du Villard (J. A.) et Guichard (C.). Régulation, *in vivo*, par le calcium, du métabolisme thyroïdien de l'iode, chez le Rat, 1167.

Truchot (R.). Voir Goudonnet (H.).

Trupin (N.), Nguyen (M.), Louf (B.), Dewailly (P.) et Vanlerenber-ghe (J.). Perfusion du foie de Rat isolé. Utilisation d'un perfusé sans héparine. Validité de la préparation, 508.

Turki (M.). Variations du peuple-ment en cellules glandulaires de l'épiderme de *Nereis diversicolor* (Polychète) cultivé *in vitro*, 391.

## U

Ueda (K.). Voir Fujiwara (K.).

## V

Vaillant (R.). Voir Morin (J. P.).

Valette (G.). Voir Loubatières (A.), Loubatières-Mariani (M. M.), Ribes (G.).

Valette (J. P.). Voir Nicot (G.).

Valli (M.). Voir Bruguerolle (B.).

Van den Driessche (J.), Linée (P.), Lacroix (P.) et Le Pollès (J. B.). Etude de la protection exercée par la 1-éburnamonine vis-à-vis de l'anoxie asphyxique aiguë et itéra-tive sur l'activité électrique céré-brale du rat curarisé. Comparaison avec la vincamine, 1081. Voir Linée (P.), Pape (D.).

Vanlerenberghe (J.). Voir Trupin (N.).

Van Liefferinge (N.). Voir Juch-mes (J.).

Van Toledo (B.). Voir Schowing (J.).

Varrone (S.). Voir Macchia (V.).

Vecchierini-Blineau (M. F.) et Guiheneuc (P.). Réflexe d'Hoffmann évoqué sur le muscle soléaire et vitesse de conduction nerveuse motrice sur le nerf sciatique poplité interne pendant la croissance, 1263.

Vermeil (C.). Voir Miegerville (M.).

Versavel (C.), Jousset-Stevenet (B.), Lebreton de Vonne (T.), Besnard (J. C.) et Mouray (H.). Le métabolisme des alpha macroglobulines du Lapin : étude de la demi-vie, 245. Voir Lebreton de Vonne (T.).

Vescovi (G.), Belleville (F.), Pay-sant (P.) et Nabot (P.). Formes moléculaires circulantes de prolactine chez la femme normale allaitante et au cours d'aménorrhée-galactorrhée tumorale, 431. Etude des formes moléculaires de la prolactine ovine et de la prolactine humaine, 437.

Vincent (D.), Notter (A.) et Magron (J.). Cholinestérases et arylestérase dans le cordon ombilical, le placenta et la membrane amniotique, chez la femme à terme, 826.

Vincent (M.). Voir Faure (J.).

Vincentiis (M. de). Voir Bartolucci (S.).

Voisin (D.). Voir Foulhoux (P.).

Vuillaume (C.). Voir Chollet (P.).

## W

Watanabe (K.) et Takeuchi (H.). Classification des réponses d'un neurone géant de l'Escargot, *Achatina fulica* Férussac, vis-à-vis de substances inhibitrices, selon la dépendance des ions chlorure, 703.

Weill (J.). Voir Lamy (J.).

Wépierre (J.). Voir Dupont (C.).

Willox (M.). Voir Léonard (A.).

Worbe (J. F.). Voir Mottaz (P.).

Wurtz (B.). Voir Behr (P.), Rodriguez-Bravo (S.).

## Y

Yacoub (M.). Voir Faure (J.).

## Z

Ziegels (J.). Etude histochimique de l'organe sous-commissural du Poulet au cours du développement, 1306.

Zouari (N.). Voir Orsetti (A.).

# TABLE ANALYTIQUE DES MATIÈRES

ANNÉE 1977 — TOME 171

## A

Absorption cœcale, acides gras volatils, Rat,	375	Action cholinergique, calcium, mouvements pendulaires, péristaltisme (inhibition), plexus myentérique,	746
Acclimatation au froid, foie, théophylline, thermogénèse, tissu adipeux brun,	1182	— lutéotrope, cycle estral, estrogènes, ratte,	446
Acétylcholine, antispasmodiques, baryum, blocage séquentiel, papavérine,	764	Activité adrénergique, orbitales moléculaires, relations conformationnelles,	979
— atropine, carbachol, récepteurs muscariniques, scopolamine,	771	— motrice, monoamines cérébrales, Rat, rythme circadien,	450
Acétylcholinestérase, cerveau, cholinacétylase, guanidine (dérivés), Lapin,	1226	Adénohypophyse, cellules corticotropes, cellules mélanotropes, immunofluorescence, Singes,	367
<i>Achatina fulica</i> , inhibiteurs, ions chlore,	703	— clones cellulaires, mitoses (païres), Rat,	733
Acide absicissique, éclaircissement, photopériode, vieillissement,	180	—, cellules gonadotropes, cellules thyroïdiques, immunocytologie, Rat,	907
— aminés, apprentissage, cerveau, consanguinité, Souris,	942	Adipocytes, $\alpha$ -adrénergie, Chien, lipolyse, surrénalectomie,	970
— — libres, brebis, gestation, insuline, lactation,	1245	ADN (échange), cellules sarcomeuses, levures,	879
— — (synthèse), acides gras (synthèse), glucose, sodium acétate, spiruline,	73	ADP, ATP, Homme, mobilité, respiration, spermatozoïdes,	370
— arachidonique, flavonoïdes, hypertension,	257	Adrénaline, arythmie cardiaque, difluorodichlorométhane, Lapin,	883
— gras, huile de lin, Rat, surrénales, testicules, thermopolymérisation,	1019	—, arythmie, Chien, difluorodichlorométhane,	1270
— — libres, muscle abdominal, <i>Palaemon serratus</i> ,	608	$\alpha$ -adrénergie, adipocytes, Chien, lipolyse, surrénalectomie,	970
— — (synthèse), acides aminés (synthèse), glucose, sodium acétate, spiruline,	73	$\beta$ -adrénolytique, Chien, diurétique, hyperréninémie, isoprénaline,	218
— — volatils, absorption cœcale, Rat,	375	—, pindolol, propranolol, rat hypertendu, rénine,	224
— — —, Carpe, intestins, Truite,	1297	Adriamycine, fibroblastes, nucléoles,	669
— méthylphosphonique, chromogénèse, cobalt, <i>Pseudomonas aeruginosa</i> , zinc,	755	Afférences nociceptives (blocage), Chat, stimulation percutante,	1054
— urique, glycolyse, hématies,	649	Age, anesthésiques stéroïdiens, Rat, sexe, toxicité,	413

- Akènes, dormance, *Lactuca sativa*, mutants, vieillissement, 76
- Alcoolisme chronique, glycogène hépatique, Rat, 228
- Aldostérone (clairance), Cobaye, puberté, sevrage, 784
- Allaitement, femme, prolactine (formes moléculaires), tumeur hypophysaire, 437
- Allium*, cytotoxicité, méthylcellulose, 1173
- $\alpha$ -amanitine, cœur (différenciation), Xénope (culture), 568
- Aminoacidémie, carence azotée, carence énergétique, vache, 60
- Aminoglycosides, céphalosporines, lysosomes, rein, 1088
- Amnios, arylestérase, cholinestérase, cordon ombilical, placenta, 826
- AMPc, canaux de Müller, Poulet (embryon), 589
- Analgesie, benzylidène benzofuranone (dérivés), 146
- , Chat, nalorphine, stimulations périphériques, 1059
- Analogues structuraux, dosage *in vivo*, somatostatine, 673
- Anaphase, fuseau, griséofulvine, ipéca (alcaloïdes), 34
- Anatoxine tétanique, charge électrique, immunité, lymphocytes, 791
- Androctonus australis*, hémocyanine, mutations, sous-unités, 241
- Anesthésie, débit capillaire, débit cardiaque, isoprénaline, tractus digestif, 1003
- Anesthésiques généraux, clonidine, pression artérielle, Rat, 1129
- stéroïdiens, age, Rat, sexe, toxicité, 413
- Anguille, hépatocytes, mannose, microsome, transfert, 998
- , EEG, hypercapnie, 1258
- Anhydride carbonique, érythrocytes (plastrate), oxygène, 27
- Anomalies génitales, sangsue, 534
- Anoxie cérébrale, éburnamonine, électrogénèse cérébrale, Rat, vincamine, 1081
- Antéhypophyse, 5 $\alpha$ -réductase, membrane nucléaire, Rat, 639
- Antibiotiques, Insectes xylophages, osidases, 738
- Antispasmodiques, acétylcholine, baryum, blocage séquentiel, papavérine, 764
- Aotus trivirgatus*, hypométabolisme, 1149
- Apport alimentaire, complexe myo-électrique, intestin grêle, Mouton, 959
- Apprentissage, acides aminés, cerveau, consanguinité, Souris, 942
- Artères de distribution, catécholamines, rhéodynamique, Sangsue, 560
- — —, rhéodynamique sanguine, stimulus thermique, 564
- Artériole afférente, glomérule, Rat, théophylline, 759
- Arylestérases, inhibiteurs des estérases, L-phénylalanine, 626
- , amnios, cholinestérase, cordon ombilical, placenta, 826
- Arythmie, adrénaline, Chien, difluorodichlorométhane, 1270
- cardiaque, adrénaline, difluorodichlorométhane, Lapin, 883
- ATP, ADP, Homme, mobilité, respiration, spermatozoïdes, 370
- (concentration), insulino sécrétion, température, 864
- Atropine, acétylcholine, carbachol, récepteurs muscariniques, scopolamine, 771
- Au, Cd, Hg, lymphokines, T.I.M.L., 1176
- Audiométrie, cellules ciliées externes, hypoacousie génétique, mitochondrie, 991
- Autoradiographie, Canard de Barbarie, spermatogénèse, 927
- , Canard hybride mâle, gamétogénèse, 931

## B

- Baryum, acétylcholine, antispasmodique, blocage séquentiel, papavérine, 764
- Benzylidène benzofuranone (dérivés), analgesie, 146
- Berbéridacées, mouvement staminal, sensibilité, 580
- Blablera fusca*, endoparasitisme, hémoglobine, *Trypanosoma brucei*, 1008
- Blocage aortique, splénoportographie, 261
- séquentiel, acétylcholine, antispasmodiques, baryum, papavérine, 764

Bois, microflore cryptogamique, 386  
 Bradykinine, prostaglandines, Rat, 685  
 Brebis, acides aminés libres, gestation, insuline, lactation, 1245  
 Bioaccumulation, métaux lourds, Moule, sédiment, turbidité, 619  
*Brucella*, mitogènes, 248

## C

Caille, comportement, contrôle hormonal, croissance testiculaire, 656  
 Calcitonine, cirrhose éthylique, 690  
 Calcium, action cholinergique, mouvements pendulaires, péristaltisme (inhibition), plexus myentérique, 746  
 —, hypertension, magnésium, minéralocorticoïde, parathormone, thyrocalcitonine, 1101  
 —, iode thyroïdien, Rat, 1167  
 Canard de Barbarie, autoradiographie, spermatogenèse, 927  
 — hybride mâle, autoradiographie, gamétogenèse, 931  
 Canaux de Müller, AMPc, Poulet (embryon), 589  
 — —, Oiseau (embryon), température, testostérone, 778  
 — —, croissance asymétrique, microscope électronique à balayage, Poulet, 1097  
 — efférents, épидидyme, gonadotrophines, ligature, Rat, 197  
 Cancer, coagulation intravasculaire, fibrinogène, 1293  
 Cane, follicule ovarien, granulosa, ultrastructure, 922  
 Capillaires sous-cutanés, inflammation, phosphatases, Rat, 854  
 Carbachol, acétylcholine, atropine, récepteurs muscariniques, scopolamine, 771  
 S carboxy-méthyl-cystéine, cycle entéro-hépatique, Rat, 39  
 Carcinome, cytotoxicité, macrophages, Rat, 90  
 Cardiomyoblastes, culture, potentiels, Rat, 86  
 Cardiovasculaire (action), Chien, pentobarbital, S 2620, 169

Carence azotée, aminoacidémie, carence énergétique, vache, 60  
 Carpe, acides gras volatils, intestins, Truite, 1297  
 —, glucagon, glycémie, glycogène, glycogène synthétase, Lamproie, 1302  
 Carragénine, kinines, prostaglandines, vasomotricité, 253  
 Caryotype, Sangliers à robe claire, 592  
 Catalase, *Pseudomonas fluorescens*, tampon, 1111  
 Catécholamines, artères de distribution, rhéodynamique, Sangsue, 560  
 Catécholaminurie, immersion, 1309  
 —, sauna, 1313  
 Cd, Au, Hg, lymphokines, T.I.M.L., 1176  
 Cellules ciliées externes, audiométrie, hypoacousie génétique, mitochondrie, 991  
 — corticales, cellules spinales, cellules thalamiques, Chat, interactions splanchnosplanchniques, 602  
 — corticotropes, adénohypophyse, cellules mélanotropes, immunofluorescence, Singes, 367  
 — épidermiques, culture, *Nereis diversicolor*, 391  
 — germinales, hybride Pékin × Barbarie, ovaire embryonnaire, 334  
 — gliales, cellules neuronales, différenciation, GABA, 1116  
 — gonadotropes, adénohypophyse, cellules thyroïdiques, immunocytologie, Rat, 907  
 — lymphoïdes, cytotoxicité, réactivation antigénique, Souris, tumeurs syngéniques, 663  
 — mélanotropes, adénohypophyse, cellules corticotropes, immunofluorescence, Singes, 367  
 — neuronales, cellules gliales, différenciation, GABA, 1116  
 — sarcomateuses, ADN (échange), levures, 879  
 — spinales, cellules corticales, cellules thalamiques, Chat, interactions splanchnosplanchniques, 602  
 — thyroïdiques, adénohypophyse, cellules gonadotropes, immunocytologie, Rat, 907

- Centre respiratoire, grand splanchnique (aiférences), laryngé récurrent, muscles laryngés intrinsèques, phrénique, 1049
- Céphalosporines, aminoglycosines, lysosomes, rein, 1088
- Cerveau, acides aminés, apprentissage, consanguinité, Souris, 942
- , acétylcholinestérase, cholinacétylase, guanidine (dérivés), Lapin, 1226
- Champ libre, comportement, sexe, Souris, 543
- Charge électrique, anatoxine tétanique, immunité, lymphocytes, 791
- Chat, cellules corticales, cellules spinales, cellules thalamiques, interactions splanchnosplanchniques, 602
- , noyau ventro-médian, projections splanchniques, projections vagales, 831
- Chien, conduction nerveuse, Lapin, plongée, 121
- , dichloroacétate, hyperlactatémie, hyperpyruvicémie, insuline, phenformine, 150
- , cardiovasculaire (action), pentobarbital, S 2620, 169
- , adrénolytique  $\beta$ , diurétique, hyperréninémie, isoprénaline, 218
- , adipocytes,  $\alpha$ -adrénergie, lipolyse, surrenalectomie, 970
- , dysrythmies post-ischémiques, éthavérine, papavérine, 1075
- , clairance, isopropylnoradrénaline, 1145
- Choc spinal, Homme, réflexe d'Hoffmann, soléaire, 142
- Cholinacétylase, acétylcholinestérase, cerveau, guanidine (dérivés), Lapin, 1226
- Cholinergiques, magnésium, péristaltisme, plexus myentérique, 750
- Cholinestérase, amnios, arylestérase, cordon ombilical, placenta, 826
- Chromatographie gaz-liquide, corticosurrénalome, spectrométrie de masse, stéroïdes urinaires, 67
- Chromogénèse, acide méthylphosphonique, cobalt, *Pseudomonas aeruginosa*, zinc, 755
- Chromosomes, leucémie, Souris, 682
- Cigarette (fumée), morphogénèse, Poulet (embryon), poumon, 553
- Ciliés, indicateurs écologiques, phosphagènes, 530
- Circulation branchiale, hypoxie, tête perfusée, Truite, 809
- Cirrhose éthylique, calcitonine, 690
- Clairance, diffusion, peau, xenon, 340
- , Chien, isopropylnoradrénaline, 1145
- Clofibrate, découplants, mitochondries, 93
- Clones cellulaires, adénohypophyse, mitoses (paires), Rat, 733
- Clonidine, anesthésiques généraux, pression artérielle, Rat, 1129
- Coagulation intravasculaire, cancer, fibrinogène, 1293
- Cobalt, acide méthylphosphonique, chromogénèse, *Pseudomonas aeruginosa*, zinc, 755
- Cœur (différenciation),  $\alpha$ -amanitine, Xénope (culture), 568
- Complexe myoélectrique, apport alimentaire, intestin grêle, Mouton, 959
- Comportement, champ libre, sexe, Souris, 543
- , Caille, contrôle hormonal, croissance testiculaire, 656
- biothermique, conditionnement, pentobarbital, Rat, 548
- Conditionnement, morphine, psychodépendance, Rat, 796
- Conduction nerveuse, Chien, Lapin, plongée, 121
- motrice, croissance, réflexe d'Hoffmann, sciatique poplitée interne, 1263
- Consanguinité, acides aminés, apprentissage, cerveau, Souris, 942
- Contenu azoté, irradiation gamma, Topinambour, tubercules, 1195
- Contrôle hormonal, Caille, comportement, croissance testiculaire, 656
- Convergence, cortex cérébral, potentiels évoqués, splanchnique, vision, 406



Cordon ombilical, amnios, aryles-  
térase, cholinestérase, placenta,  
826  
— vasculaires, hémiangioblastes,  
microscope électronique à ba-  
layage, Poulet (embryon), 421  
Cortex, formation réticulée, poten-  
tiels évoqués, splanchnique, vi-  
sion, 1188  
— cérébral, convergence, potentiels  
évoqués, splanchnique, vision,  
406  
Corticosurrénalome, chromatogra-  
phie gaz-liquide, spectrométrie de  
masse, stéroïdes urinaires, 67  
Corticotrope (action), nucléus rap-  
hes, Pigeon, 850  
Corticotrophine, hypertrophie rénale,  
Rat, 1122  
Cortisol, Cobaye, puberté, stress, 45  
*Corynebacterium parvum*, Cobaye,  
hypersensibilité retardée, réponse  
anamnestique, 1202  
— —, exsudat péritonéal, hypersen-  
sibilité retardée, irradiation, leu-  
cocytes, transfert passif, 1209  
Croissance, morphogénèse, *Roselli-  
nia*, 50  
—, dérivés mercuriels, *Euglena gra-  
cilis*, 901  
—, conduction nerveuse motrice,  
reflexe d'Hoffmann, sciatique po-  
plité interne, 1263  
— asymétrique, canaux de Müller,  
microscope électronique à ba-  
layage, Poulet, 1097  
— bactérienne, nucléotides adényli-  
ques, 54  
— (inhibition), inhibiteur de syn-  
thèse, Topinambour (disque), 233  
— testiculaire, Caille, comporte-  
ment, contrôle hormonal, 656  
Culture, cardiomyoblastes, poten-  
tiels, Rat, 86  
—, cellules épidermiques, *Vereis di-  
versicolor*, 391  
—, duodénum, muscle lisse, Rat, 804  
— cellulaire, glande pinéale, Mou-  
ton, prolactine, 1134

Curetage, Lapin, microvascularisa-  
tion, moelle osseuse, myéloscléro-  
se, 951  
Cyanures, hydroxocobalamine, scia-  
tique, 1221  
Cycle entéro-hépatique, Rat, S-car-  
boxy-méthyl-cystéine, 39  
— estral, action lutéotrope, estrogè-  
nes, ratte, 446  
— de Krebs, NADH, *Pseudomonas  
fluorescens*, 954  
— sexuel, hypoxie aiguë, Souris, 1230  
Cytochrome P 450, eau, test de toxi-  
cité, 441  
Cytotoxicité, carcinome, macropha-  
ges, Rat, 90  
—, cellules lymphoïdes, réactiva-  
tion antigénique, Souris, tumeurs  
syngénétiques, 663  
—, *Allium*, méthylcellulose, 1173

## D

Débit capillaire, anesthésie, débit  
cardiaque, isoprénaline, tractus  
digestif, 1003  
Déciduome histaminique, éthynyl-  
estradiol, mucification vaginale,  
noréthistérone, Rat, 192  
Déclin, durée, sonie, 303  
Découplants, clofibrate, mitochon-  
dries, 93  
Demi-vie, Lapin, macroglobulines  $\alpha$ ,  
245  
Dentelle utérine, éthynylestradiol,  
lapine impubère, noréthistérone,  
synergie, 631  
Dérivés mercuriels, croissance, *Eu-  
glena gracilis*, 901  
Désaminidases, foie, Porc, rein, 836  
Dibénamine, lobéline, phentolami-  
ne, réflexes carotidiens, 329  
Dichloroacétate, Chien, hyperlacta-  
témie, hyperpyruvicémie, insuline,  
phenformine, 150  
—, insulinémie, lactatémie, pan-  
créas isolé, phenformine, Rat,  
thiamine pyrophosphate, 155  
Différenciation, cellules gliales, cel-  
lules neuronales, GABA, 1116  
Diffusion, clairance, peau, xénon, 340



Disfluorodichlorométhane, adrénaline, arythmie cardiaque, Lapin,	883
—, —, —, Chien,	1270
Distributeur, glycémie, insuline, pancréatectomie,	858
Diurétique, adrénolytique $\beta$ , Chien, hyperreninémie, isoprénaline,	218
Dormance, akènes, <i>Lactuca sativa</i> , mutants, vieillissement,	76
—, <i>Euonymus europaeus</i> (embryon), gibbérellines,	82
Dosage <i>in vivo</i> , analogues structuraux, somatostatine,	673
Duodénum, culture, muscle lisse, Rat,	804
Durée, déclin, sonie,	303
Dysrythmies post-ischémiques, Chien, éthavérine, papavérine,	1075

## E

Eau, cytochrome P 450, test de toxicité,	441	— mitochondriales, foie lyophilisé, phénobarbital, tétrachlorure de carbone,	322
Éburnamonine, anoxie cérébrale, électrogénèse cérébrale, Rat, vin-camine,	1081	Epidémiologie tumorale, Souris Black/6M,	1140
Eclaircissement, acide abscessique, photopériode, vieillissement,	180	Epididyme, canaux efférents, gonadotrophines, ligature, Rat,	197
EEG, Anguille, hypercapnie,	1258	—, FSH (inhibition), Rat,	636
Effet glucose, effet Pasteur, levures, oxygène dissous,	1029	—, FSH-RH (inhibition), Rat,	1064
Electrocorticogramme, hypoxie cérébrale, piridoxilate, Rat,	398	Epithélioma, fraction membranaire, immunostimulation, <i>Klebsiella pneumoniae</i> , Rat, ribosomes,	818
Electrogénèse cérébrale, anoxie cérébrale, éburnamonine, Rat, vin-camine,	1081	Epithélium vaginal, équilibre hormonal, Rat,	345
Electromyographie, motricité intestinale,	1107	Epoxyde, eugénol, hépatocytes, Rat,	100
Embryotoxicité, glucose, insuline,	1094	—, Rat, safrol (métabolisme),	108
Endoparasitisme, <i>Blabera fusca</i> , hémoglobine, <i>Trypanosoma brucei</i> ,	1008	Epoxyde-diols, pouvoir mutagène, safrol et analogue, <i>Salmonella typhimurium</i> ,	1041
Endostyle, Lamproie (larve), thyroglobuline,	308	Equilibre hormonal, épithélium vaginal, Rat,	345
Enfance, nouveau-né, prolactine, puberté,	131	Erythrocytes (plastrate), anhydride carbonique, oxygène,	27
Enzymes, hépatopancréas, intermue, muscles, <i>Palaemon serratus</i> ,	115	<i>Escherichia coli</i> , facteur d'élongation, guanilate cyclase,	516
		Estradiol, oviducte, pleurodèle, thermostabilité, thymidine kinase,	205
		Estrogènes, Cobaye, foie, gestation,	20
		—, action lutéotrope, cycle estral, ratte,	446
		Ethavérine, Cobaye, oreillette, papavérine, période réfractaire,	214
		—, Chien, dysrythmies post-ischémiques, papavérine,	1075
		Ethynylestradiol, déciduome histaminique, mucification vaginale, noréthistérone, Rat,	192
		—, dentelle utérine, lapine impubère, noréthistérone, synergie,	631
		Eugenol, époxyde, hépatocytes, Rat,	100
		<i>Euglena gracilis</i> , croissance, dérivés mercuriels,	901
		<i>Euonymus europaeus</i> (embryon), dormance, gibbérellines,	82
		Excrétion urinaire, Homme, Lapin, LH-RH,	464

Exsudat péritonéal, *Corynebacterium parvum*, hypersensibilité retardée, irradiation, leucocytes, transfert passif, 1209

## F

Facteur d'élongation, *Escherichia coli*, guanylate cyclase, 516  
 Fécondation, œuf, Oursin, phosphagènes, 512  
 Femme, allaitement, prolactine (formes moléculaires), tumeur hypophysaire, 437  
 Ferritine, perméabilité glomérulaire, Rat, 350  
 —, passage transglomérulaire, Rat, théophylline, 596  
 Fibres catécholaminergiques, Hérisson, hibernation, noradrénaline captation), 136  
 Fibrinogène, cancer, coagulation intravasculaire, 1293  
 Fibroblastes, adriamycine, nucléoles, 669  
 Flavonoïdes, acide arachidonique, hypertension, 257  
 $\alpha$ -foeto protéine, pathologie gravidique, sérum maternel, 696  
 Foie, Cobaye, estrogènes, gestation, 20  
 —, désaminidases, Porc, rein, 836  
 —, acclimatation au froid, théophylline, thermogénèse, tissu adipeux brun, 1182  
 — lyophilisé, enzymes mitochondriales, phénobarbital, tétrachlorure de carbone, 322  
 — perfusé, perfusé non hépariné, 508  
 Follicule ovarien, cane, granulosa, ultrastructure, 922  
 Formation réticulée, cortex, potentiels évoqués, splanchnique, vision, 1188  
 Formes moléculaires, prolactine, 430  
 Fraction membranaire, épithélioma, immunostimulation, *Klebsiella pneumoniae*, Rat, ribosomes, 813  
 FSH (inhibition), épидидyme, Rat, 635

FSH-RH (inhibition), épидидyme, Rat, 1064  
 Fuseau, anaphase, griseofulvine, ipéca (alcaloïdes), 34

## G

GABA, cellules gliales, cellules neuronales, différenciation, 1116  
*Galleria mellonella*, hémicastration, jeûne, vitellogenèse, 201  
 — —, jeûne protidique, spermatogénèse, 1068  
 Gamétogénèse, autoradiographie, Canard hybride mâle, 931  
 Gestation, Cobaye, estrogènes, foie, 20  
 —, acides aminés libres, brebis, insuline, lactation, 1245  
 Gibbérellines, dormance, *Euonymus europaeus* (embryon), 82  
 Glande mammaire, ovariectomie, ratte, tamoxifène, 287  
 — pinéale, culture cellulaire, Mouton, prolactine, 1134  
 Glomérule, artériole afférente, Rat, théophylline, 759  
 — (diamètre), hypertrophie rénale compensatrice, hypothyroïdie, tubes proximaux (diamètre), 459  
 Glucagon, Carpe, glycémie, glycogène, glycogène synthétase, Lamproie, 1302  
 — (sécrétion), glucose, insuline (sécrétion), pancréas isolé, Rat, récepteurs cholinergiques, température, 165  
 Glucose, acides aminés (synthèse), acides gras (synthèse), sodium acétate, spiruline, 73  
 —, glucagon (sécrétion), insuline (sécrétion), pancréas isolé, Rat, récepteurs cholinergiques, température, 165  
 —, hormone lactogène placentaire, 425  
 —, embryotoxicité, insuline, 1094  
 — (absorption), motricité intestinale, Mouton, 964  
 — (concentration), insulinosécrétion, température, 161  
 Glucuronides, Rat, safrol, urines, 1034

- Glycémie, distributeur, insuline, pancréatectomie, 858  
 —, insulino-sécrétion, phenformine, 870  
 —, Carpe, glucagon, glycogène, glycogène synthétase, Lamproie, 1302  
 Glycogène hépatique, alcoolisme chronique, Rat, 228  
 Glycolyse, acide urique, hématies, 649  
 Glycosidases, *Schistocerca gregaria*, 742  
 Gonadotrophines, canaux efférents, épидidyme, ligature, Rat, 197  
 — sériques, polypeptique LH-RH, Rat, 473  
 Granulosa, cane, follicule ovarien, ultrastructure, 922  
 Grand splanchnique (afférences), centre respiratoire, laryngé récurrent, muscles laryngés intrinsèques, phrénique, 1049  
 Greffe splénique, masse sanguine, Poulet (embryon), splénomégalie, 417  
 Greffon ovarien, ovaire, Poulet (embryon femelle), 585  
 Griséofulvine, anaphase, fuseau, ipéca (alcaloïdes), 34  
 Guanidine (dérivés), acétylcholinestérase, cerveau, cholinacétylase, Lapin, 1226  
 Guanylate cyclase, *Escherichia coli*, facteur d'élongation, 516
- H**
- Helix aspersa*, prostate, 728  
 Hématies, acide urique, glycolyse, 649  
 — allogéniques, hématies homologues, rosettes humaines, 456  
 Hémangioblastes, cordons vasculaires, microscope électronique à balayage, Poulet (embryon), 421  
 Hémicastration, *Galleria mellonella*, jeûne, vitellogenèse, 201  
 Hémocyanine, *Androctonus australis*, mutations, sous-unités, 241  
 Hémoglobine, *Blabera fusca*, endoparasitisme, *Trypanosoma brucei*, 1008  
 Hépatectomie, histamine, Rat, 644  
 —, histamine hépatique, histamine sanguine, Rat, sulfate d'aminoguanidine, 1288  
 —, — —, — —, —, tritoqualine, 1283  
 Hépatocytes, époxyde, eugénol, Rat, 100  
 —, Anguille, mannose, microsomes, transfert, 998  
 Hépatopancréas, enzymes, intermue, muscle, *Palaemon serratus*, 115  
 Hérisson, fibres catécholaminergiques, hibernation, noradrénaline, 136  
 Hétérogamétie, *Idotea balthica*, néomâles, 176  
 Hg, Au, Cd, lymphokines, T.I.M.L., 1176  
 Hibernation, fibres catécholaminergiques, Hérisson, noradrénaline, 136  
 Histamine, hépatectomie, Rat, 644  
 — hépatique, hépatectomie, histamine sanguine, Rat, tritoqualine, 1283  
 — —, —, — —, —, sulfate d'aminoguanidine, 1288  
 Homme, choc spinal, réflexe d'Hoffmann, soléaire, 142  
 —, ADP, ATP, mobilité, respiration, spermatozoïdes, 370  
 —, excrétion urinaire, Lapin, LH-RH, 464  
 —, neurophysine, nicotine, vasopressine, 478  
 —, métabolisme, mobilité, pression osmotique, spermatozoïdes, 822  
 Homochromie, hormone juvénile, 503  
 Hormone lactogène placentaire, glucose, 425  
 — neurohypophysaires, immunocytochimie, neurosécrétion, ultrastructure, 914  
 — thyroïdiennes, Mn<sup>2+</sup>, Rat, 1024

Huile de lin, acides gras, Rat, sur-  
rénales, testicules, thermopolymé-  
risation, 1019  
Hybride Pékin × Barbarie, cellules  
germinales, ovaire embryonnaire, 334  
Hydrolases, sulfatides, syndrome  
néphrotique, 946  
Hydroxocobalamine, cyanures, scia-  
tique, 1221  
Hydroxy-5-tryptophane, malforma-  
tions, Poulet (embryon), 1163  
Hypercapnie, Anguille, EEG, 1258  
Hyperlactatémie, Chien, dichloro-  
acétate, hyperpyruvicémie, insuli-  
ne, phenformine, 150  
Hyperréninémie, adrénolytique  $\beta$ ,  
Chien, diurétique, isoprénaline, 218  
Hypersensibilité retardée, Cobaye,  
*Corynebacterium parvum*, réponse  
anamnestique, 1202  
— —, *Corynebacterium parvum*,  
exsudat péritonéal, irradiation,  
leucocytes, transfert passif, 1209  
Hypertension, acide arachidonique,  
flavonoïdes, 257  
—, calcium, magnésium, minéralo-  
corticoïde, parathormone, thyro-  
calcitonine, 1101  
Hypertrophie rénale, corticotrophine,  
Rat, 1122  
— — compensatrice, glomérules  
(diamètre), hypothyroïdie, tubes  
proximaux (diamètre), 459  
Hypoacousie génétique, audiomé-  
trie, cellules ciliées externes, mi-  
tochondrie, 991  
Hypocholestérolémiant, Rat Spra-  
gue-Dawley, Rat Wistar, tératoge-  
nèse, 15  
Hypométabolisme, *Aotus trivirgatus*, 1149  
Hypothalamus, membranes, 5 $\alpha$ -ré-  
ductase, 1254  
Hypothyroïdie, glomérules (diamè-  
tre), hypertrophie rénale compen-  
satrice, tubes proximaux (diamè-  
tre), 459  
Hypoxie, circulation branchiale,  
tête perfusée, Truite, 809  
— aiguë, cycle sexuel, Souris, 1230  
— cérébrale, électrocorticogramme,  
piridoxilate, Rat, 398

## I

*Idotea balthica*, hétérogamétie, néo-  
males, 176  
Immersion, catécholaminurie, 1309  
Immunité, anatoxine tétanique,  
charge électrique, lymphocytes, 791  
Immunité thymo-dépendante, mala-  
die de Tyzzer, Souris, 710  
Immunocytochimie, hormones neu-  
rohypophysaires, neurosécrétion,  
ultrastructure, 914  
Immunocytologie, adénohypophyse,  
cellules gonadotrope, cellules  
thyrotrope, Rat, 907  
Immunofluorescence, adénohypo-  
physe, cellules corticotrope, cel-  
lules mélanotrope, Singes, 367  
Immunoglobulines intestinales, im-  
munoglobulines sériques, Souris,  
vaccination, 380  
Immunostimulation, sodium (di-  
éthylthiocarbamate), 313  
—, épithélioma, fraction membra-  
naire, *Klebsiella pneumoniae*, Rat,  
ribosomes, 818  
Indicateurs écologiques, Ciliés,  
phosphagènes, 530  
Inflammation, capillaires sous-cuta-  
nés, phosphatases, Rat, 854  
Inhibiteurs, *Achatina fulica*, ions  
chlore, 703  
— des estérases, arylestérases, L-  
phénylalanine, 626  
— de synthèse, croissance (inhibi-  
tion), Topinambour (disque), 233  
Insectes Xylophages, antibiotiques,  
osidases, 738  
Insuline, Chien, dichloroacétate,  
hyperlactémie, hyperpyruvicémie,  
phenformine, 150  
—, distributeur, glycémie, pancréa-  
tectomie, 858  
—, embryotoxicité, glucose, 1094  
—, acides aminés libres, brebis,  
gestation, lactation, 1245  
— (sécrétion), glucagon (sécré-  
tion), glucose, pancréas isolé,  
Rat, récepteurs cholinergiques,  
température, 165

- Insulinémie, dichloroacétate, lactatémie, pancréas isolé, phenformine, Rat, thiamine pyrophosphate, 155
- Insulinosécrétion, glucose (concentration), température, 161
- , glycémie, phenformine, 870
- , ATP (concentration), température, 864
- Interactions splanchnosplanchniques, cellules corticales, cellules spinales, cellules thalamiques, Chat, 602
- Intermue, enzymes, hépatopancréas, muscle, *Palaemon serratus*, 115
- Intestins, acides gras volatils, Carpe, Truite, 1297
- grêle, phosphatases alcalines (activation), Rat, sorbitol, 294
- —, apport alimentaire, complexe myoélectrique, Mouton, 959
- Iode thyroïdien, calcium, Rat, 1167
- Ions chlore, *Achatina fulica*, inhibiteurs, 703
- Ipéca (alcaloïdes), anaphase, fuisseau, griséofulvine, 34
- Irradiation, *Corynebacterium parvum*, exsudat péritonéal, hypersensibilité retardée, leucocytes, transfert passif, 1209
- gamma, contenu azoté, Topinambour, tubercules, 1195
- X, mâle (âge), mortalité prénatale, Souris, 679
- Isoprénaline, adrénolytique, Chien, diurétiques, hyperréninémie, 218
- , anesthésie, débit capillaire, débit cardiaque, tractus digestif, 1003
- Isopropylnoradrénaline, Chien, clairance, 1145
- J**
- Jeûne, *Galleria mellonella*, hémi-castration, vitellogenèse, 201
- protidique, *Galleria mellonella*, spermatogenèse, 1068

**K**

- Kinines, carragénine, prostaglandine, vasomotricité, 253
- Klebsiella pneumoniae*, épithélioma, fraction membranaire, immunostimulation, Rat, ribosomes, 818

**L**

- Lactatémie, dichloroacétate, insulinémie, pancréas isolé, phenformine, Rat, thiamine pyrophosphate, 155
- Lactation, acides aminés libres, brebis, gestation, insuline, 1245
- Lactuca sativa*, akènes, dormance, mutants, vieillissement, 76
- Lamproie, Carpe, glucagon, glycémie, glycogène, glycogène synthétase, 1302
- (larve), endostyle, thyroglobuline, 308
- Laryngé récurrent, centre respiratoire, grand splanchnique (afférences), muscles laryngés intrinsèques, phrénique, 1049
- Leucémie, chromosomes, Souris, 682
- Leucocytes, *Corynebacterium parvum*, exsudat péritonéal, hypersensibilité retardée, irradiation, transfert passif, 1209
- Levures, ADN (échange), cellules sarcomateuses, 879
- , effet glucose, effet Pasteur, oxygène dissous, 1029
- LH-RH, excrétion urinaire, Homme, Lapin, 464
- Ligature, canaux efférents, épidyde, gonadotrophines, Rat, 197
- Lipase, *Rhodotorula*, 613
- Lipolyse, adipocytes,  $\alpha$ -adrénergie Chien, surrénalectomie, 70
- Listeria monocytogenes*, *Listeria* phages, ultrastructure, 488
- Lobéline, dibénamine, phentolamine, réflexes carotidiens, 329
- Luminescence bactérienne, narcotique, réversibilité, 188
- Lymphocytes, anatoxine tétanique, charge électrique, immunité, 791

Lymphokines, Au, Cd, Hg, T.I.M.L., 1176  
 Lysine décarboxylase, *Pseudomonas aeruginosa*, 484  
 Lysosomes, aminoglycosides, céphalosporines, rein, 1088

# M

Macroglobulines  $\alpha$ , demi-vie, Lapin, 245  
 $\alpha_2$ -macroglobuline,  $\alpha_2$ -macroglobuline, Lapin, 976  
 Macrophages, carcinome, cytotoxicité, Rat, 90  
 Magnésium, cholinergiques, péristaltisme, plexus myentérique, 750  
 —, calcium, hypertension, minéralocorticoïde, parathormone, thyrocalcitonine, 1101  
 Maladie de Tyzzer, immunité thymo-dépendante, Souris, 710  
 Mâle (âge), irradiation X, mortalité prénatale, Souris, 679  
 Malformations, hydroxy-5-tryptophanne, Poulet (embryon), 1163  
 Mannose, Anguille, hépatocytes, microsomes, transfert, 998  
 Masse sanguine, greffe splénique, Poulet (embryon), splénomégalie, 417  
 Membranes, hypothalamus, 5 $\alpha$ -réductase, 1254  
 — basale glomérulaire (antigènes), Rat, urines, 355  
 — nucléaire, antehypophyse, 5 $\alpha$ -réductase, Rat, 639  
 Métabolisme, Homme, mobilité, pression osmotique, spermatozoïdes, 822  
 Métaux lourds, bioaccumulation, Moule, sédiment, turbidité, 619  
 Méthylcellulose, *Allium*, cytotoxicité, 1173  
 Microflore cryptogamique, bois, 386  
 Microscope électronique à balayage, cordons vasculaires, hémangioblastes, Poulet (embryon), 421  
 — — —, canaux de Müller, croissance asymétrique, Poulet, 1097

Microsomes, Anguille, hépatocytes, mannose, transfert, 998  
 Microvascularisation, curetage, Lapin, moelle osseuse, myélosclérose, 951  
 Minéralocorticoïde, calcium, hypertension, magnésium, parathormone, thyrocalcitonine, 1101  
 Mitochondries, clofibrate, découplants, 93  
 —, SH, transporteurs, 935  
 —, audiométrie, cellules ciliées externes, hypoacousie génétique, 991  
 Mitogènes, *Brucella*, 248  
 Mitoses (paires), adénohypophyse, clones cellulaires, Rat, 733  
 Mn<sup>2+</sup>, hormones thyroïdiennes, Rat, 1024  
 Mobilité, ADP, ATP, Homme, respiration, spermatozoïdes, 370  
 —, Homme, métabolisme, pression osmotique, spermatozoïdes, 822  
 Moelle osseuse, curetage, Lapin, microvascularisation, myélosclérose, 951  
 Monoamines cérébrales, activité motrice, Rat, rythme circadien, 450  
 Morphine, conditionnement, psychodépendance, Rat, 796  
 Morphogénèse, croissance, *Rosellinia*, 50  
 Morphogénèse, cigarette (fumée), Poulet (embryon), poumon, 553  
 Mortalité prénatale, irradiation X, mâle (âge), Souris, 679  
 Motricité intestinale, glucose absorption, Mouton, 964  
 — —, électromyographie, 1107  
 Moule, bioaccumulation, métaux lourds, sédiment, turbidité, 619  
 Mouton, apport alimentaire, complexe myoélectrique, intestin grêle, 959  
 —, glucose absorption, motricité intestinale, 964  
 —, culture cellulaire, glande pinéale, prolactine, 1134  
 Mouvements pendulaires, action cholinergique, calcium, péristaltisme (inhibition), plexus myentérique, 746

- staminaire, Berbéridacées, sensibilité, 580
- Mucification vaginale, déciuome histaminique, éthylnylestradiol, 192
- Muscle, enzymes, hépatopancréas, intermue, *Palaemon serratus*, 115
- abdominal, acides gras libres, *Palaemon serratus*, 608
- laryngés intrinsèques, centre respiratoire, grand splanchnique (afférences), laryngé récurrent, phrénique, 1049
- lisse, culture, duodénum, Rat, 804
- Mutants, akènes, dormance, *Lactuca sativa*, vieillissement, 76
- Mutations, *Androctonus australis*, hémocyanine, sous-unités, 241
- Myélosclérose, curetage, Lapin, microvascularisation, moelle osseuse, 951

## N

- NADH, cycle de Krebs, *Pseudomonas fluorescens*, 954
- Nalorphine, analgésie, Chat, stimulations périphériques, 1059
- Narcotique, luminescence bactérienne, réversibilité, 188
- Néo-mâles, hétérogamétie, *Idotea balthica*, 176
- Néonatalogie, pentobarbital, Rat, thiobarbital, toxicité, 846
- Nereis diversicolor*, cellules épidermiques, culture, 391
- Neurophysine, Homme, nicotine, vasopressine, 478
- (fibres), Renard, somatostatine (fibres), 576
- Neurosecrétion, hormones neurohypophysaires, immunocytochimie, ultrastructure, 914
- Nicotine, Homme, neurophysine, vasopressine, 478
- Noradrénaline, fibres catécholaminergiques, Hérisson, hibernation, 136
- Noréthistérone, déciuome histaminique, éthylnylestradiol, mucification vaginale, Rat, 192
- , dentelle utérine, éthylnylestradiol, lapine impubère, synergie, 631

- Nouveau-né, enfance, prolactine, puberté, 131
- Noyau ventro-médian, Chat, projections splanchniques, projections vagales, 831
- Nucléoles, adriamycine, fibroblastes, 669
- Nucléoside Y, *Saccharomyces cerevisiae*, 814
- Nucléotides adényliques, croissance bactérienne, 54
- Nucléus raphes, corticotrope (action), Pigeon, 850

## O

- Oeuf, fécondation, Oursin, phosphagènes, 512
- Oiseau (embryon), canaux de Müller, température, testostérone, 778
- —, parois endothéliales, 896
- Oléate de cholestéryle, SNC (distribution), voie intraventriculaire, 525
- Ontogenèse, organe sous-commisural, Poulet, 1306
- Orbitales moléculaires, activité adrénergique, relations conformationnelles, 979
- Oreillette, Cobaye, éthavérine, papavérine, période réfractaire, 214
- Organophosphorés, Os longs, téragénèse, 1235
- Osidases, antibiotiques, Insectes Xylophages, 738
- Oursin, fécondation, œuf, phosphagènes, 512
- Ovaire, greffon ovarien, Poulet (embryon femelle), 585
- embryonnaire, cellules germinales, hybride Pékin × Barbarie, 334
- Ovariectomie, ratte, tamoxifène, utérus, vagin, 280
- , glande mammaire, ratte, tamoxifène, 287
- Oviducte, estradiol, pleurodèle, thermostabilité, thymidine kinase, 205
- Oxygène, anhydride carbonique, érythrocytes (plastrate), 27
- dissous, effet glucose, effet Pasteur, levures, 1029



## P

*Palaemon serratus*, enzymes, hépatopancréas, intermue, muscle,

115

— —, acides gras libres, muscle abdominal, 608

Pancréas isolé, dichloroacétate, insulínémie, lactatémie, phenformine, Rat, thiamine pyrophosphate, 155

— —, glucagon (sécrétion), glucose, insuline (sécrétion), Rat, récepteurs cholinergiques, température, 165

Pancréatectomie, distributeur, glycémie, insuline, 858

Papavérine, Cobaye, éthavérine, oreillette, période réfractaire, 214

—, acétylcholine, antispasmodiques, baryum, blocage séquentiel, 764

—, Chien, dysrythmies post-ischémiques, éthavérine, 1075

Parathormone, calcium, hypertension, magnésium, minéralocorticoïde, thyrocalcitonine, 1101

Parois endothéliales, Oiseau (embryon), 896

Passage transglomérulaire, ferritine, Rat, théophylline, 596

Pathologie gravidique,  $\alpha$ -fœto-protéine, sérum maternel, 696

Peau, clairance, diffusion, xénon, 340

Pentobarbital, cardiovasculaire (action), Chien, S 2620, 169

—, comportement biothermique, conditionnement, Rat, 548

—, néonatalogie, Rat, thiobarbital, toxicité, 846

Perfusat non hépariné, foie perfusé, 508

Période réfractaire, Cobaye, éthavérine, oreillette, papavérine, 214

Péristaltisme, cholinergiques, magnésium, plexus myentérique, 750

— (inhibition), action cholinergique, calcium, mouvements pendulaires, plexus myentérique, 746

Perméabilité glomérulaire, ferritine, Rat, 350

Phenformine, Chien, dichloroacétate, hyperlactatémie, hyperpyruvicémie, insuline, 150

—, dichloroacétate, insulínémie, lactatémie, pancréas isolé, Rat, thiamine pyrophosphate, 155

—, glycémie, insulino-sécrétion, 870

Phénobarbital, enzymes mitochondriales, foie lyophilisé, tétrachlorure de carbone, 322

Phentolamine, dibénamine, lobéline, réflexes carotidiens, 329

L-phénylalanine, arylestérases, inhibiteurs des estérases, 626

Phosphagènes, fécondation, œuf, Oursin, 512

—, Ciliés, indicateurs écologiques, 530

Phosphatases, capillaires sous-cutanés, inflammation, Rat, 854

— alcalines (activation), intestin grêle, Rat, sorbitol, 294

Photopériode, acide abscissique, éclaircissement, vieillissement, 180

Phrénique, centre respiratoire, grand splanchnique (afférences), laryngé récurrent, muscles laryngés intrinsèques, 1049

Pigeon, corticotrope (action), nucleus raphes, 850

Pindolol,  $\beta$ -récepteurs cardiaques,  $\beta$ -récepteurs métaboliques, 666

—, adrénolytique  $\beta$ , propranolol, Rat hypertendu, rénine, 224

Piridoxilate, électrocorticogramme, hypoxie cérébrale, Rat, 398

Placenta, amniot, arylestérase, cholinestérase, cordon ombilical, 826

Pleurodèle, estradiol, oviducte, thermostabilité, thymidine kinase, 205

Plexus myentérique, action cholinergique, calcium, mouvements pendulaires, péristaltisme (inhibition), 746

— —, cholinergiques, magnésium, péristaltisme, 750

Plongée, Chien, conduction nerveuse, Lapin, 121

Polypeptique LH-RH, gonadotrophines sériques, Rat, 473

Porc, désaminidases, foie, rein, 836

Potentiels, cardiomyoblastes, culture, Rat, 86  
 — évoqués, convergence, cortex cérébral, splanchnique, vision, 406  
 — —, cortex, formation réticulée, splanchnique, vision, 1188  
 Poumon, cigarette (fumée), morphogénèse, Poulet (embryon), 553  
 Pouvoir fécondant, Rat, spermatozoïde, 918  
 — mutagène, époxyde-diols, safrol et analogue, *Salmonella typhimurium*, 1041  
 Pression artérielle, anesthésiques généraux, clonidine, Rat, 1129  
 — osmotique, Homme, métabolisme, mobilité, spermatozoïdes, 822  
 Projections splanchniques, Chat, noyau ventro-médian, projections vagales, 831  
 Prolactine, enfance, nouveau-né, puberté, 131  
 —, formes moléculaires, 430  
 —, culture cellulaire, glande pinéale, Mouton, 1134  
 — (formes moléculaires), allaitement, femme, tumeur hypophysaire, 437  
 Propranolol, adrénolytique  $\beta$ , pindolol, Rat hypertendu, rénine, 224  
 Prostaglandine, carragénine, kinine, vasomotricité, 253  
 —, bradykinine, Rat, 685  
 Prostate, *Helix aspersa*, 728  
 Protéinurie, théophylline, 361  
*Pseudomonas aeruginosa*, lysine, décarboxylase, 484  
 — —, acide méthylphosphorique, chromogénèse, cobalt, zinc, 755  
 — *fluorescens*, cycle de Krebs, NADH, 954  
 — —, catalase, tampon, 1111  
 Psychodépendance, conditionnement, morphine, Rat, 796  
 Puberté, Cobaye, cortisol, stress, 45  
 —, enfance, nouveau-né, prolactine, 131  
 —, aldostérone (clairance), Cobaye, sevrage, 784  
 —, Cobaye, rythme circadien, testostérone, 1240

## R

Radioimmunologie, thyrotropin releasing hormone, 1216  
 Réactivation antigénique, cellules lymphoïdes, cytotoxicité, Souris, tumeurs syngéniques, 663  
 $\beta$ -récepteurs cardiaques,  $\beta$ -récepteurs métaboliques, pindolol, 666  
 Récepteurs cholinergiques, glucagon (sécrétion), glucose, insuline (sécrétion), pancréas isolé, Rat, température, 165  
 — muscariniques, acétylcholine, atropine, carbachol, scopolamine, 771  
 5 $\alpha$ -réductase, antihypophyse, membrane nucléaire, Rat, 639  
 — —, hypothalamus, membranes, 1254  
 Réflexes carotidiens, dibénamine, lobéline, phentolamine, 329  
 — d'Hoffmann, choc spinal, Homme, soléaire, 142  
 — —, conduction nerveuse motrice, croissance, sciatique poplitée interne, 1263  
 Régénération dentaire, Cobaye, 876  
 Rein, désaminidases, foie, Porc, 836  
 —, aminoglycosides, céphalosporines, lysosomes, 1088  
 Relations conformationnelles, activité adrénergique, orbitales moléculaires, 979  
 Renard, neurophysine (fibres), somatostatine (fibres), 576  
 Rénine, adrénolytique  $\beta$ , pindolol, propranolol, Rat hypertendu, 224  
 Réponse anamnétique, Cobaye, *Corynebacterium parvum*, hypersensibilité retardée, 1202  
 Respiration, ADP, ATP, Homme, mobilité, spermatozoïdes, 370  
 Réversibilité, luminescence bactérienne, narcotique, 188  
 Rhéodynamique, artères de distribution, catécholamines, Sangsue, 560  
 — sanguine, artères de distribution, stimulus thermique, 564  
*Rhodotorula*, lipase, 613

- Ribosomes, épithélioma, fraction membranaire, immunostimulation, *Klebsiella pneumoniae*, Rat, 818
- Rosellinia*, croissance, morphogénèse, 50
- Rosettes humaines, hématies allogéniques, hématies homologues, 456
- Rythme circadien, activité motrice, monoamines cérébrales, Rat, 450
- —, Cobaye, puberté, testostérone, 1240
- S**
- S 2520, cardiovasculaire (action), (Chien), pentobarbital, 169
- Saccharomyces cerevisiae*, nucléoside Y, 814
- Safrol, glucuronides, Rat, urines, 1034
- et analogue, époxyde-diols, pouvoir mutagène, *Salmonella typhimurium*, 1041
- (métabolisme), époxyde, Rat, 108
- Salmonella typhimurium*, époxyde-diols, pouvoir mutagène, safrol et analogues, 1041
- Sangliers à robe claire, caryotype, 592
- Sangsue, anomalies génitales, 534
- , artères de distribution, catécholamines, rhéodynamique, 560
- Sauna, catécholaminurie, 1313
- Schistocerca gregaria*, glycosidases, 742
- Sciatique, cyanures, hydroxocobalamine, 1221
- poplitée interne, conduction nerveuse motrice, croissance, réflexe d'Hoffmann, 1263
- Scopolamine, acétylcholine, atropine, carbachol, récepteurs muscariniques, 771
- Sédiment, bioaccumulation, métaux lourds, Moule, turbidité, 619
- Sensibilité, Berbéridacées, mouvement staminaire, 580
- Sérum maternel,  $\alpha$ -fœtoprotéine, pathologie gravidique, 696
- Sevrage, aldostérone (clairance), Cobaye, puberté, 784
- Sexe, âge, anesthésiques stéroïdiens, Rat, toxicité, 413
- , champ libre, comportement, Souris, 543
- SH, mitochondries, transporteurs, 935
- Singes, adénohypophyse, cellules corticotropes, cellules mélanotropes, immunofluorescence, 367
- SNC (distribution), oléate de cholestéryle, voie intraventriculaire, 525
- Sodium acétate, acides aminés (synthèse), acides gras (synthèse), glucose, spiruline, 73
- Sodium (diéthylthiocarbamate), immunostimulation, 313
- Solaire, choc spinal, Homme, réflexe d'Hoffmann, 142
- Somatostatine, analogues structuraux, dosage *in vivo*, 673
- (fibres), neurophysine (fibres), Renard, 576
- Sonie, déclin, durée, 303
- Sorbitol, intestin grêle, phosphatases alcalines (activation), Rat, 294
- Sous-unités, *Androctonus australis*, hémocyanine, mutations, 241
- Spectrométrie de masse, chromatographie gaz-liquide, corticosurrenalectomie, stéroïdes urinaires, 67
- Spermatogenèse, autoradiographie, Canard de Barbarie, 927
- , *Galleria mellonella*, jeûne protidique, 1068
- Spermatozoïdes, ADP, ATP, Homme, mobilité, respiration, 370
- , Homme, métabolisme, mobilité, pression osmotique, 822
- , pouvoir fécondant, Rat, 918
- Spiruline, acides aminés (synthèse), acides gras (synthèse), glucose, sodium acétate, 73
- Splanchnique, convergence, cortex cérébral, potentiels évoqués, vision, 406
- , cortex, formation réticulée, potentiels évoqués, vision, 1188
- Splénomégalie, greffe splénique, masse sanguine, Poulet (embryon), 417
- Splénoportographie, blocage aortique, 261

- Stéroïdes urinaires, chromatographie gaz-liquide, corticosurrénalectomie, spectrométrie de masse, 67
- Stimulation percutante, afférences nociceptives (blocage), Chat, 1054
- périphériques, analgésie, Chat, nalorphine, 1059
- Stimulus thermique, artères de distribution, rhéodynamique sanguine, 564
- Stress, Cobaye, cortisol, puberté, 45
- Sulfate d'aminoguanidine, hépatectomie, histamine hépatique, histamine sanguine, Rat, 1288
- Sulfatides, hydrolases, syndrome néphrotique, 946
- Surrénales, acides gras, huile de lin, Rat, testicules, thermopolymérisation, 1019
- Surrénalectomie, adipocytes,  $\alpha$ -adrénaline, Chien, lipolyse, 970
- Syndrome néphrotique, hydrolases, sulfatides, 946
- Synergie, dentelle utérine, éthinylestradiol, lapine impubère, noréthystérone, 631
- T**
- Tamoxifène, ovariectomie, ratte, utérus, vagin, 280
- , glande mammaire, ovariectomie, ratte, 287
- Tampon, catalase, *Pseudomonas fluorescens*, 1111
- Température, glucose (concentration), insulinosécrétion, 161
- , glucagon (sécrétion), glucose, insuline (sécrétion), pancréas isolé, Rat, récepteurs cholinergiques, 165
- , canaux de Müller, Oiseau (embryon), testostérone, 778
- , ATP (concentration), insulinosécrétion, 864
- Térogénèse, hypocholestérolémiant, Rat Sprague Dawley, Rat Wistar, 15
- , organophosphorés, os longs, 1235
- Test de toxicité, cytochrome P 450, eau, 441
- Testicules, acides gras, huile de lin, Rat, surrénales, thermopolymérisation, 1019
- Testostérone, canaux de Müller, Oiseau (embryon), température, 778
- , Cobaye, puberté, rythme circadien, 1240
- Tête perfusée, circulation branchiale, hypoxie, Truite, 809
- Tétrachlorure de carbone, enzymes mitochondriales, foie lyophilisé, phénobarbital, 322
- Théophylline, protéinurie, 361
- , ferritine, passage transglomérulaire, Rat, 596
- , artériole afférente, glomérule, Rat, 759
- , acclimatation au froid, foie, thermogénèse, tissu adipeux brun, 1182
- Thermopolymérisation, acides gras, huile de lin, Rat, surrénales, testicules, 1019
- Thermostabilité, estradiol, oviducte, pleurodèle, thymidine kinase, 205
- Thiamine pyrophosphate, dichloroacétate, insuliniémie, lactatémie, pancréas isolé, phenformine, Rat, 155
- Thiobarbital, néonatalogie, pentobarbital, Rat, toxicité, 846
- Thymidine kinase, estradiol, oviducte, pleurodèle, thermostabilité, 205
- Thyrocalcitonine, calcium, hypertension, magnésium, minéralocorticoïde, parathormone, 1101
- Thyroglobuline, endostyle, Lamproie (larve), 308
- Thyrotropin releasing hormone, radioimmunologie, 1216
- T.I.M.L., Au, Cd, Hg, lymphokines, 1176
- Tissu adipeux brun, acclimatation au froid, foie, théophylline, thermogénèse, 1182
- Topinambour, contenu azoté, irradiation gamma, tubercules, 1195
- (disque), croissance (inhibition), 233
- Toxicité, âge, anesthésiques stéroïdiens, Rat, sexe, 413
- , néonatalogie, pentobarbital, Rat, thiobarbital, 846
- Tractus digestif, anesthésie, débit capillaire, débit cardiaque, isoprénaline, 1003

- Transfert, Anguille, hépatocytes, mannose, microsomes, 998  
 — passif, *Corynebacterium parvum*, exsudat péritonéal, hypersensibilité retardée, irradiation, leucocytes, 1209  
 Transporteurs, mitochondries, SH, 935  
 Tritoqualine, hépatectomie, histamine hépatique, histamine sanguine, Rat, 1283  
 Truite, circulation branchiale, hypoxie, tête perfusée, 809  
 —, acides gras volatils, Carpe, intestins, 1297  
*Trypanosoma brucei*, *Blabera fusca*, endoparasitisme, hémoglobine, 1008  
 Tubercules, contenu azoté, irradiation gamma, Topinambour, 1195  
 Tubes proximaux (diamètre), glomérules (diamètre), hypertrophie rénale compensatrice, hypothyroïdie, 459  
 Tumeur hypophysaire, allaitement, femme, prolactine (formes moléculaires), 437  
 — syngénétiques, cellules lymphoïdes, cytotoxicité, réactivation antigénique, Souris, 663  
 Turbidité, bioaccumulation, métaux lourds, Moule, sédiment, 619

## U

- Ultrastructure, *Listeria monocytogenes*, *Listeria*-phages, 488  
 —, hormones neurohypophysaires, immunocytochimie, neurosécrétion, 914  
 —, cane, follicule ovarien, granulosa, 922  
 Urines, membrane basale glomérulaire (antigènes), Rat, 355  
 —, glucuronides, Rat, saflol, 1034

- Utérus, ovariectomie, ratte, tamoxifène, vagin, 280

## V

- Vaccination, immunoglobulines intestinales, immunoglobulines sériques, Souris, 380  
 Vache, amino-acidémie, carence azotée, carence énergétique, 60  
 Vagin, ovariectomie, ratte, tamoxifène, utérus, 280  
 Vasomotricité, carragénine, kinine, prostaglandine, 253  
 Vasopressine, Homme, neurophysine, nicotine, 478  
 Vieillessement, akènes, dormance, *Lactuca sativa*, mutants, 76  
 —, acide abscissique, éclaircissement, photopériode, 180  
 Vincamine, anoxie cérébrale, éburnamone, électrogenèse cérébrale, Rat, 1081  
 Vision, convergence, cortex cérébral, potentiels évoqués, splanchnique, 406  
 —, cortex, formation réticulée, potentiels évoqués, splanchnique, 1188  
 Vitellogenèse, *Galleria mellonella*, hémicastration, jeûne, 201  
 Voie intraventriculaire, oléate de cholestéryle, SNC (distribution), 525

## X

- Xénon, clairance, diffusion, peau, 340  
 Xenope (culture),  $\alpha$ -amanitine, cœur (différenciation), 568

## Z

- Zinc, acide méthylphosphonique, chromogénèse, cobalt, *Pseudomonas aeruginosa*, 755

